



FIG. 1

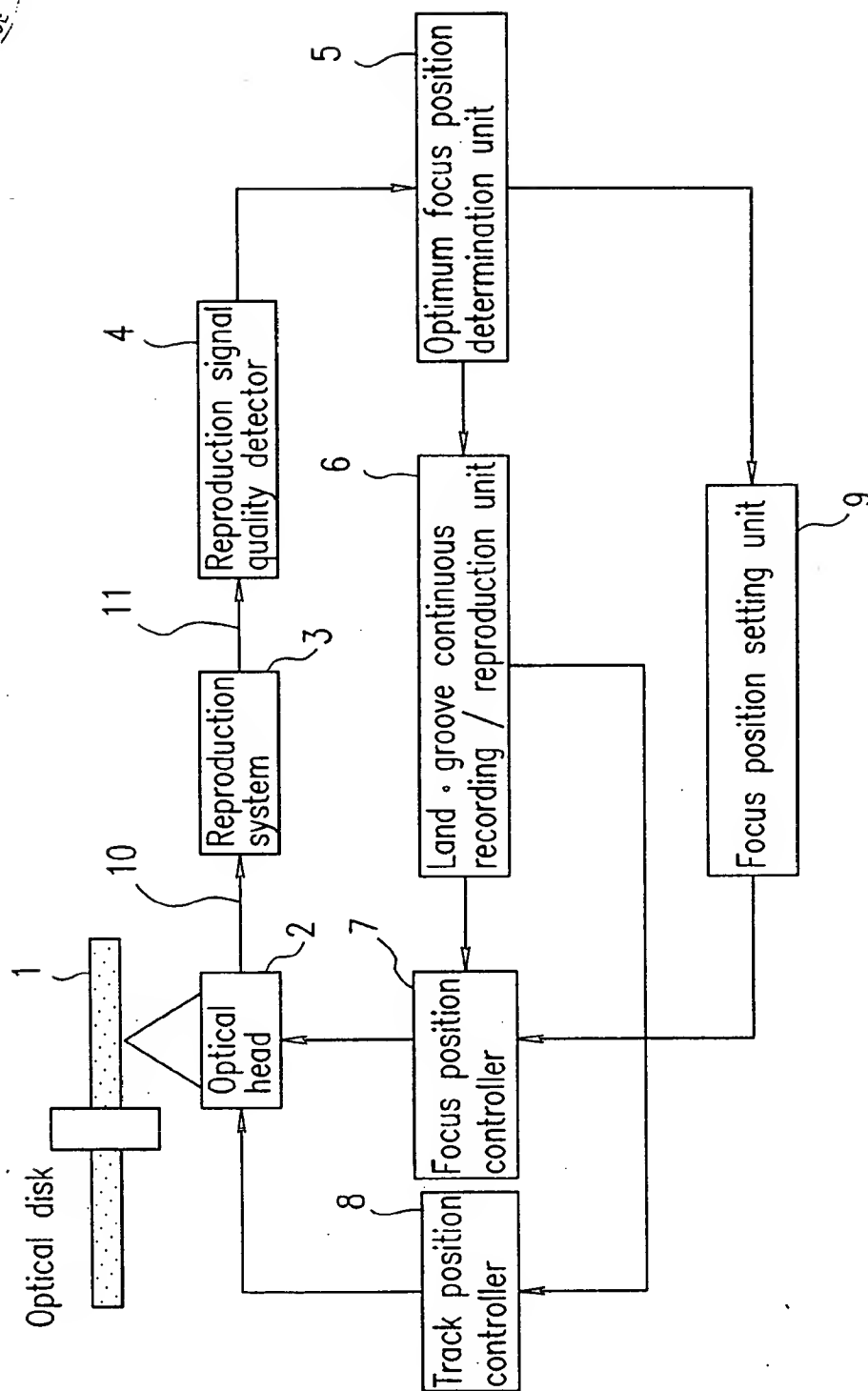


FIG. 2

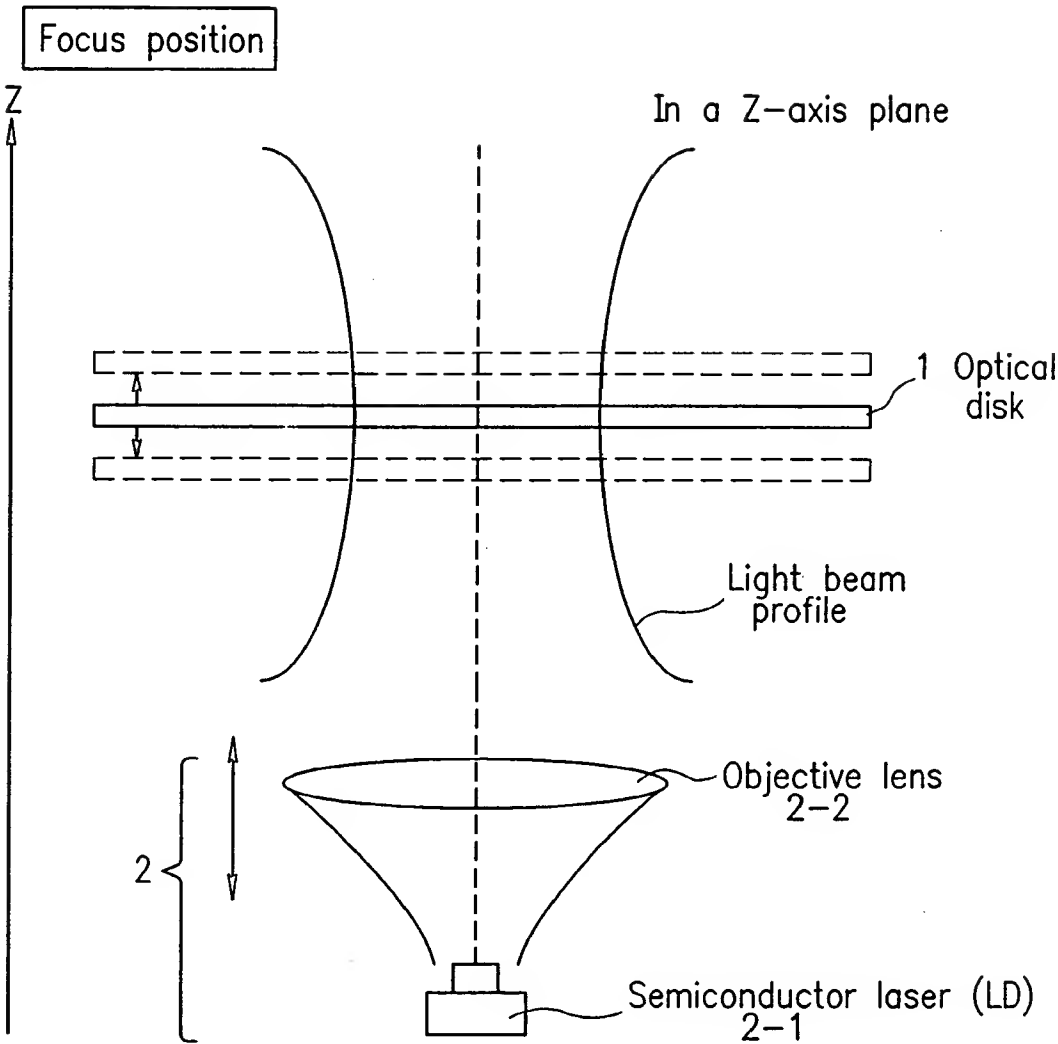


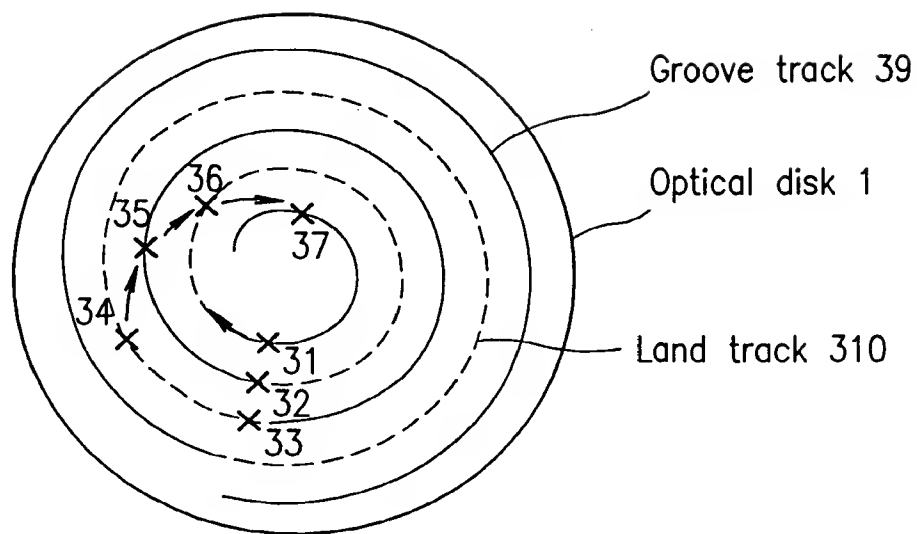
FIG. 3

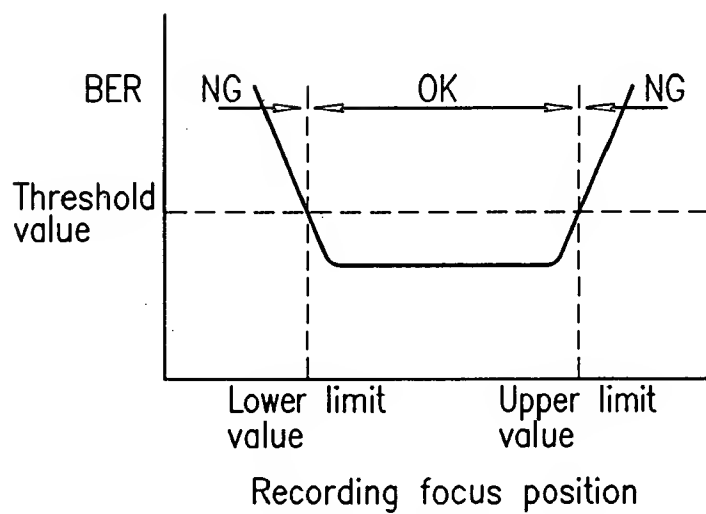
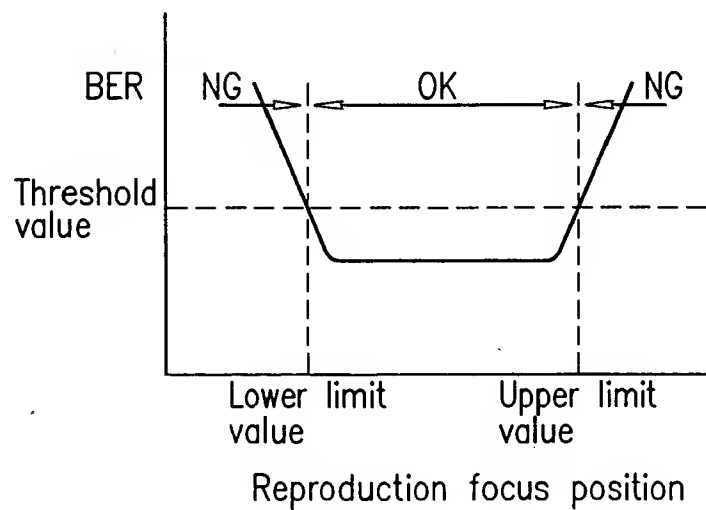
FIG. 4A*FIG. 4B*

FIG. 5

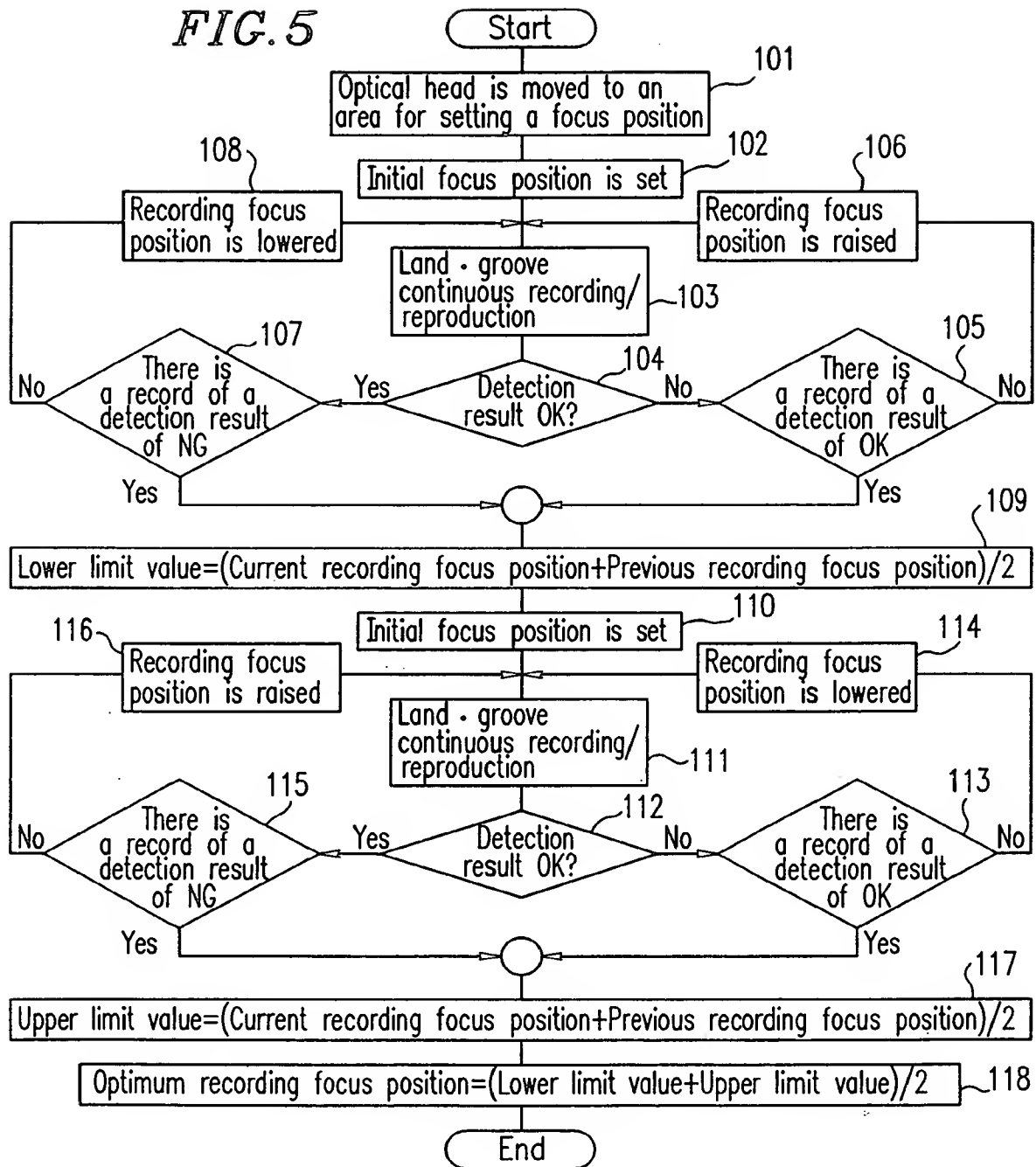


FIG. 6

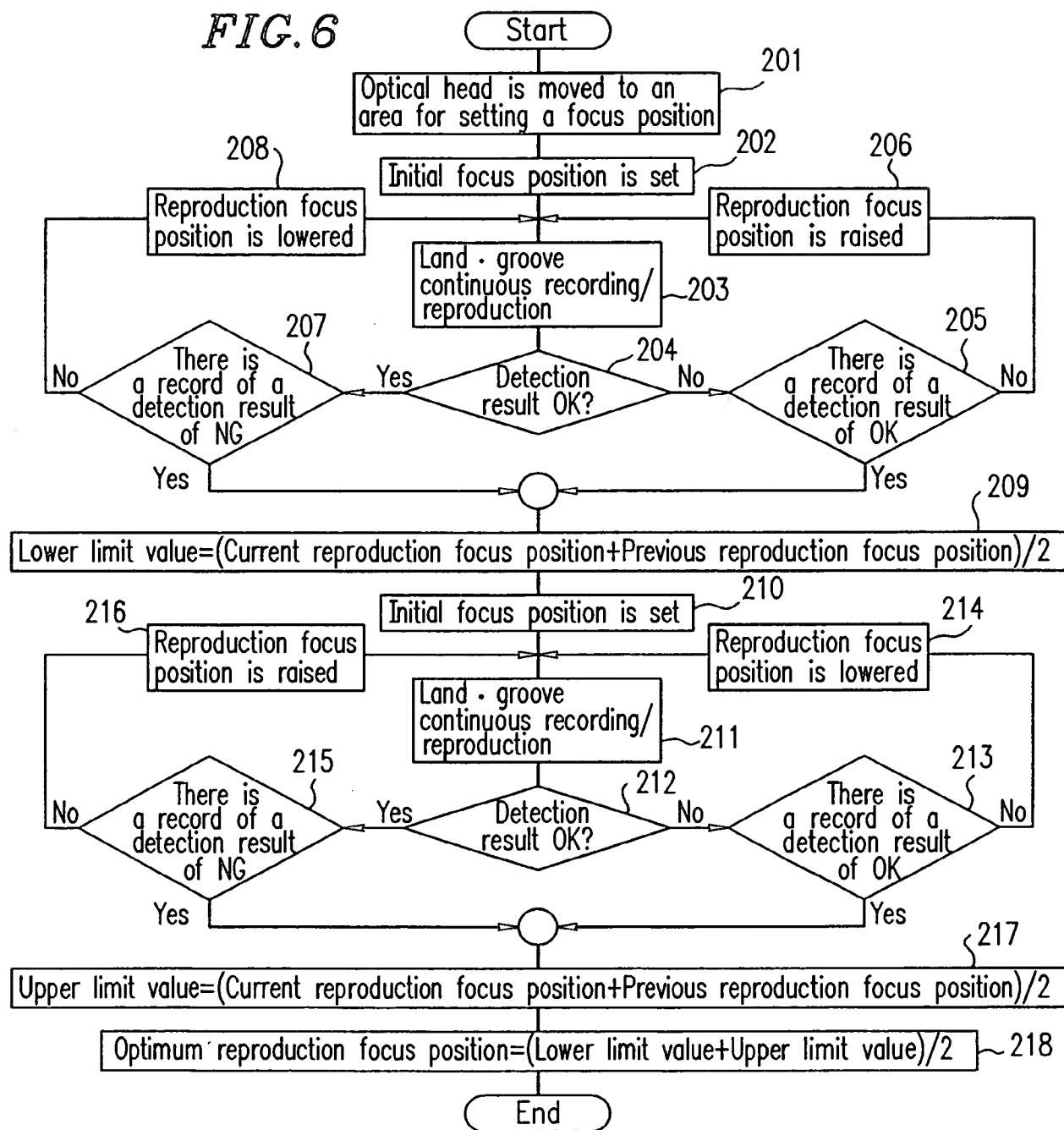


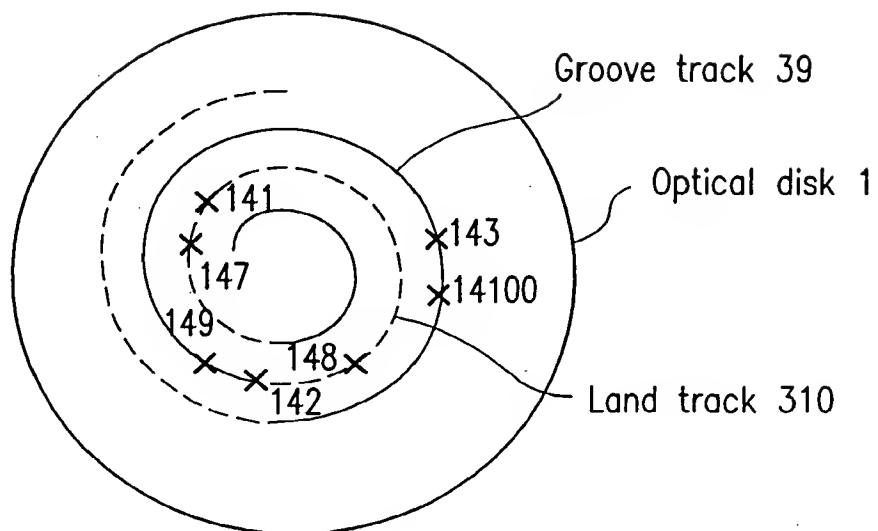
FIG. 7

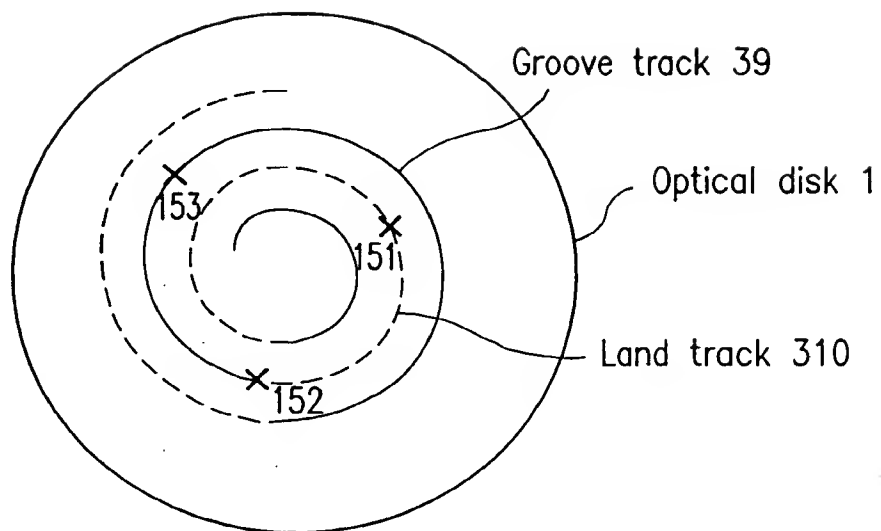
FIG. 8

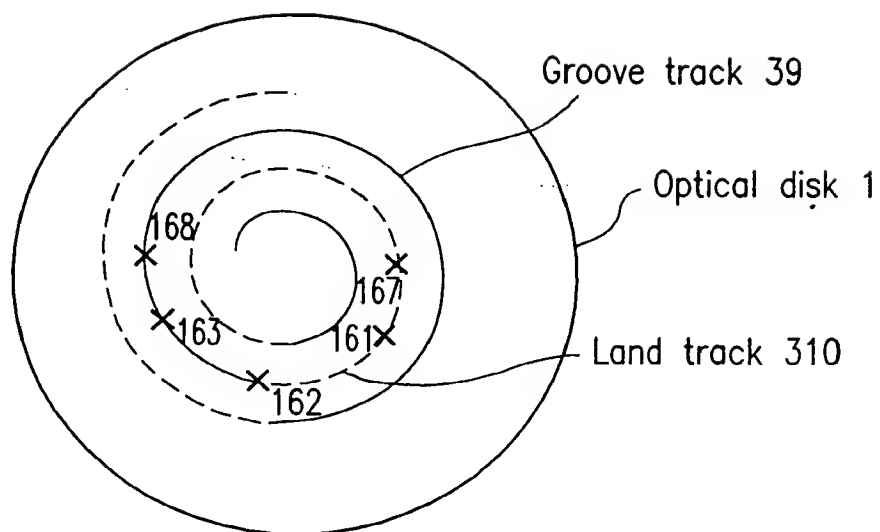
FIG. 9

FIG. 10

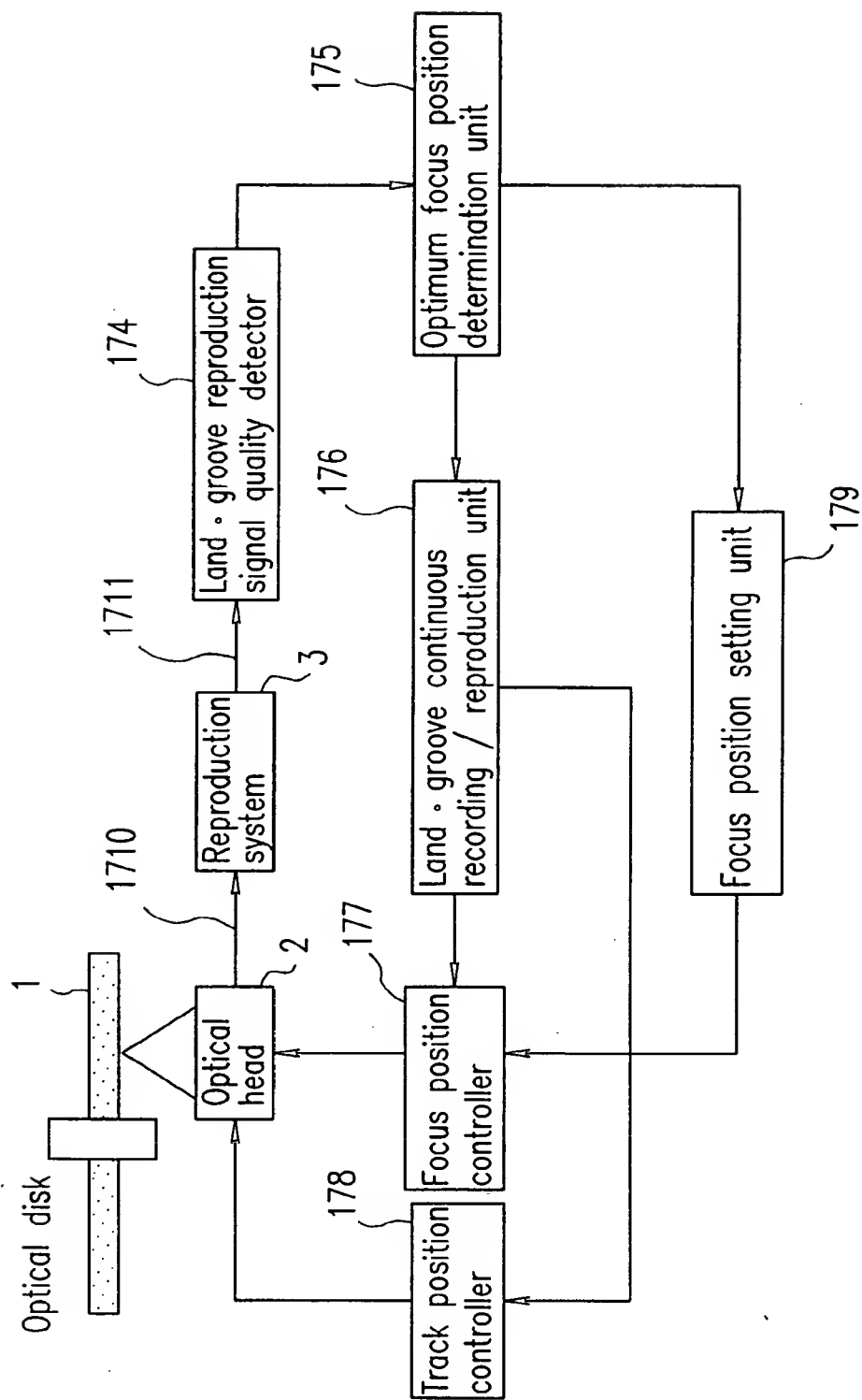


FIG. 11

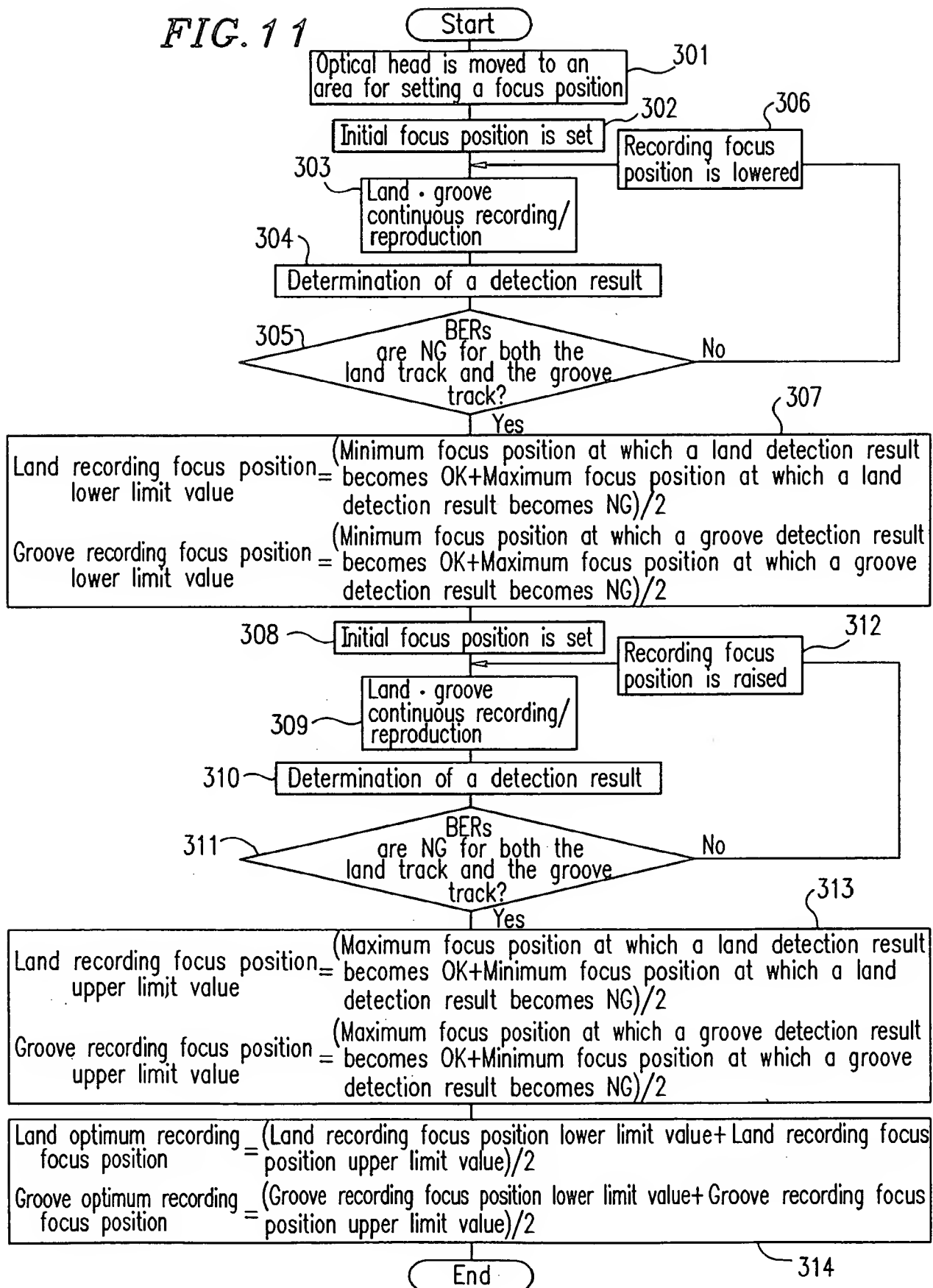


FIG. 12

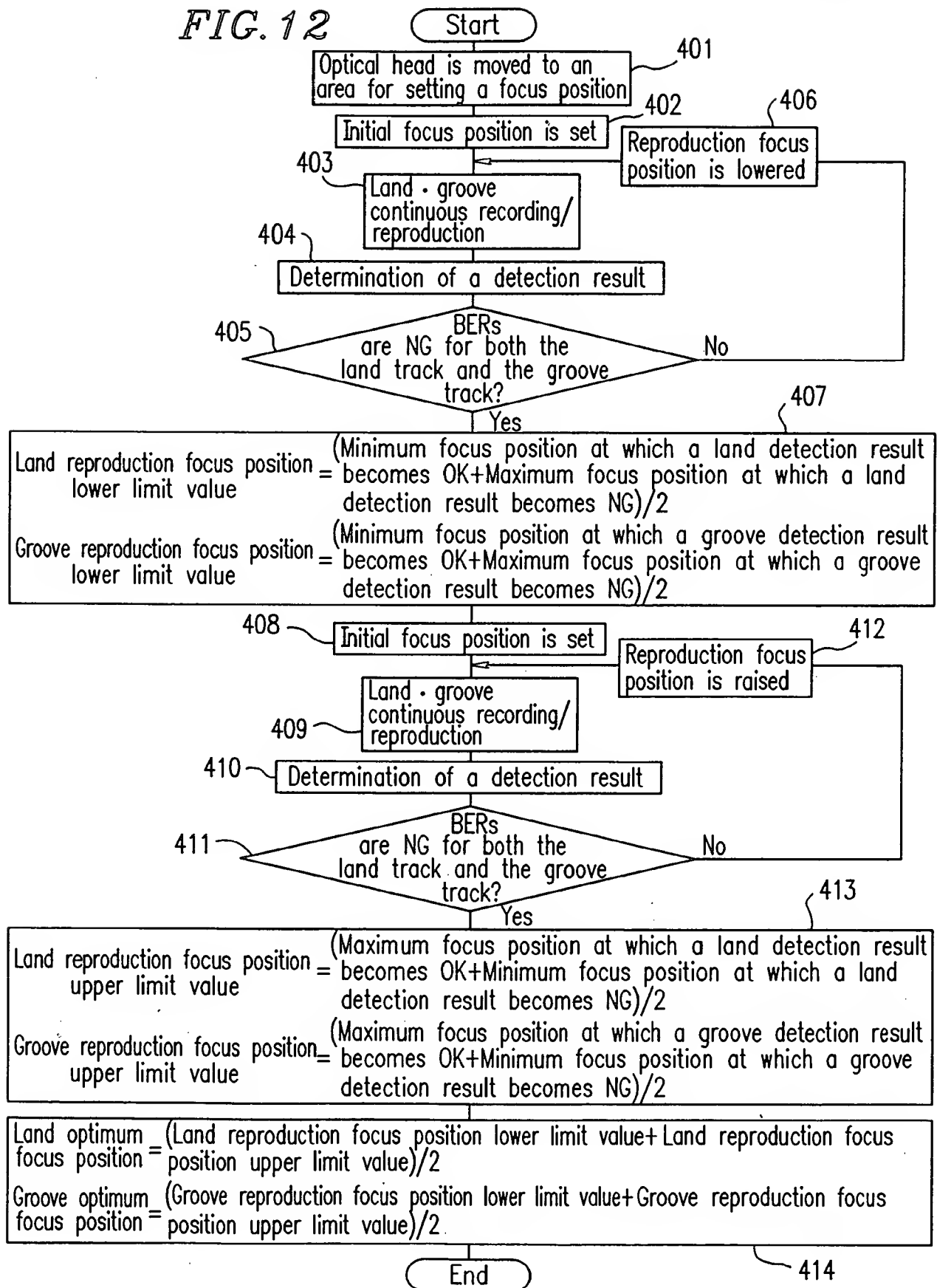


FIG. 13

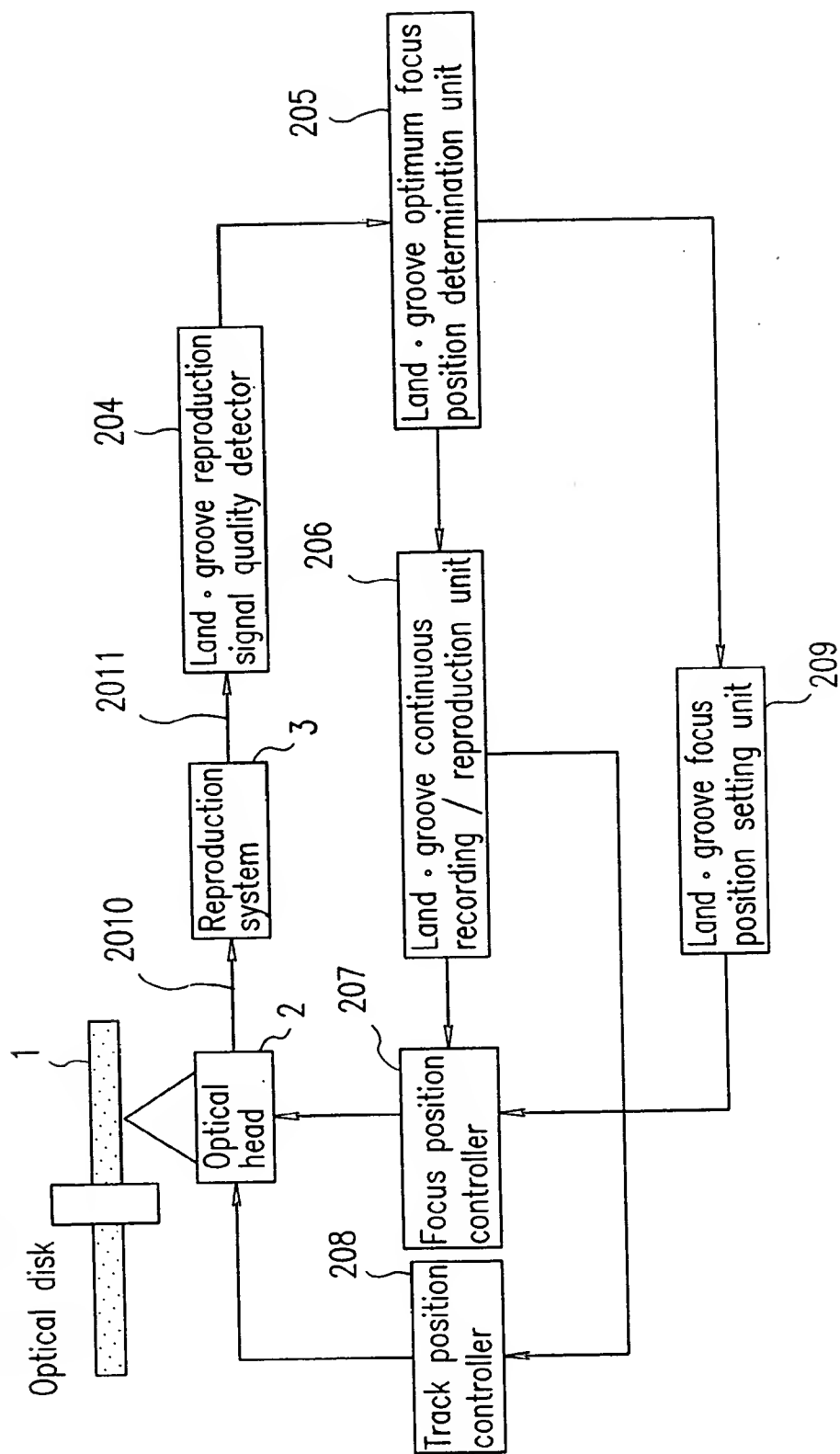


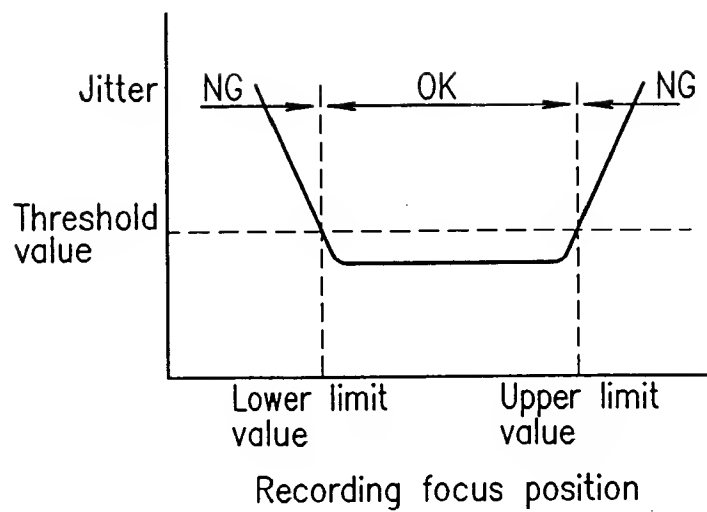
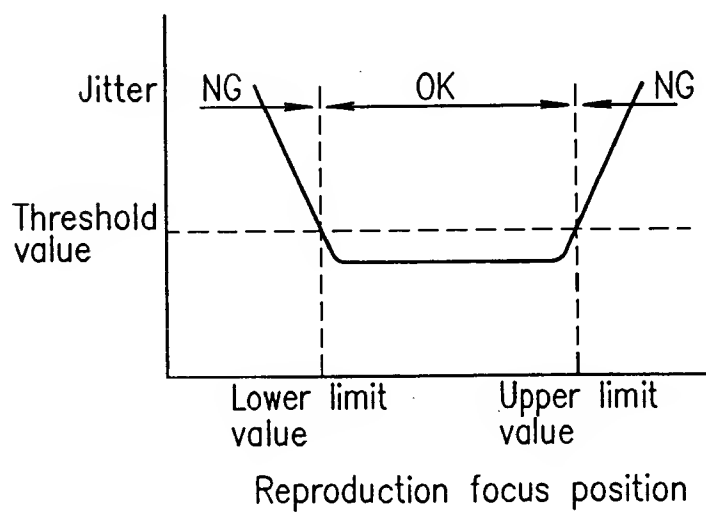
FIG. 14A*FIG. 14B*

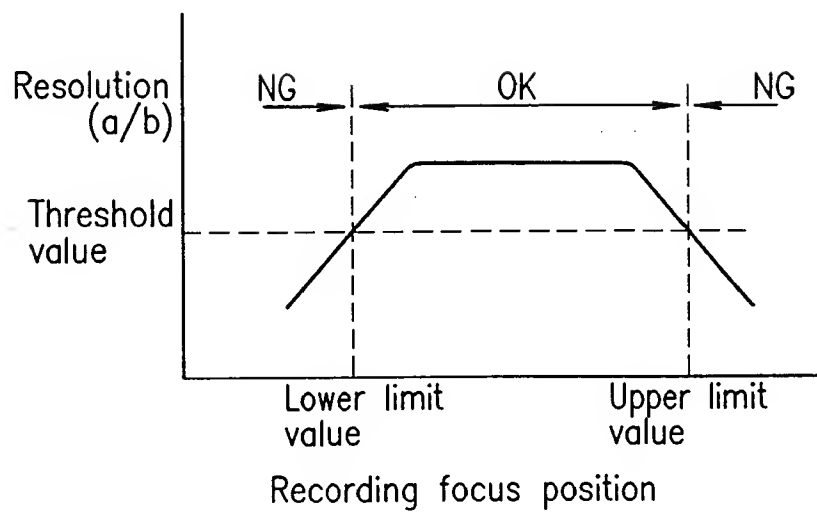
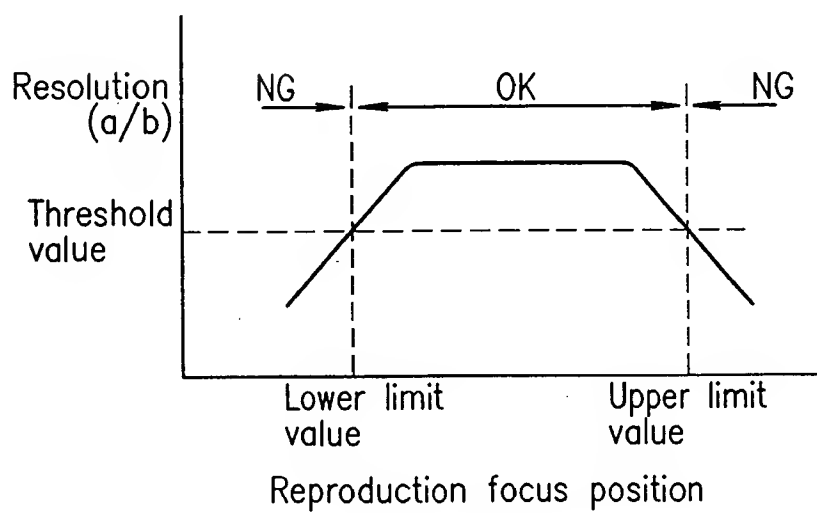
FIG. 15A*FIG. 15B*

FIG. 16

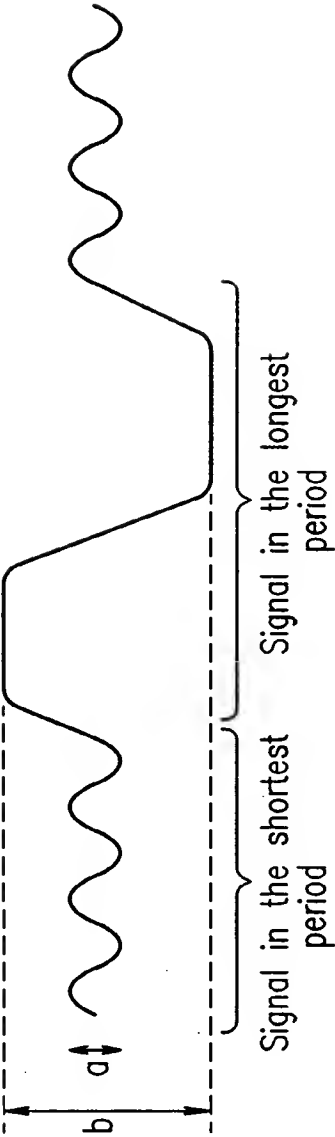


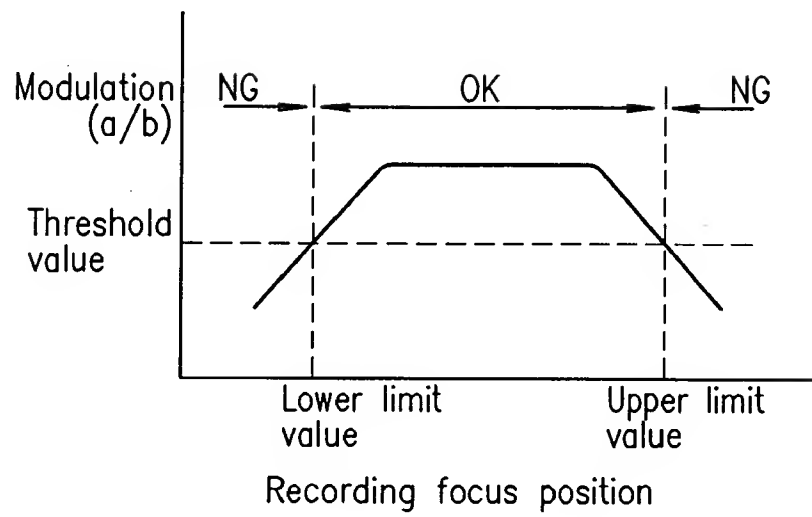
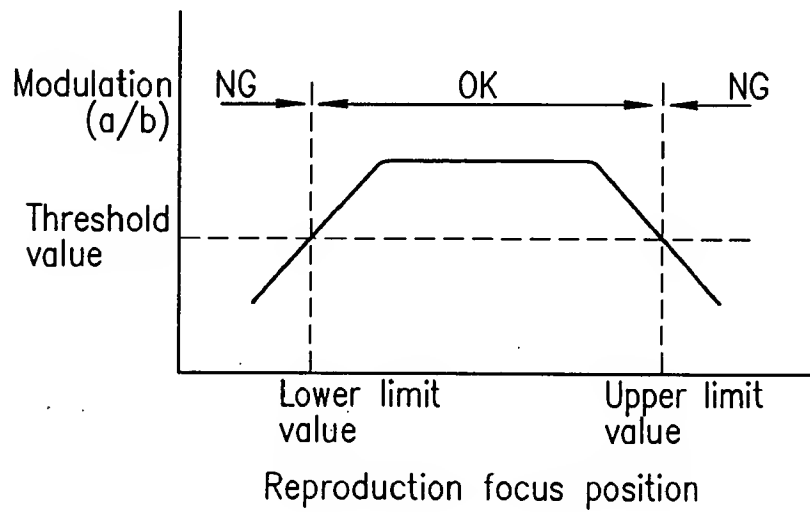
FIG. 17A*FIG. 17B*

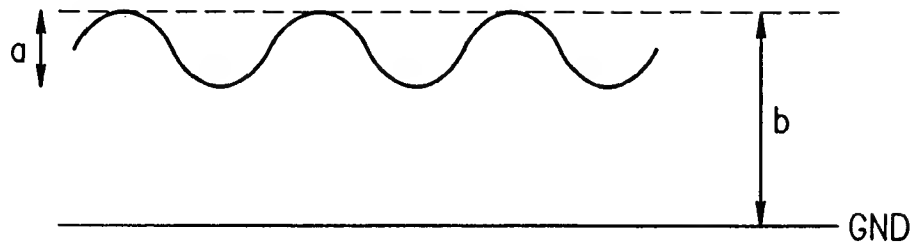
FIG. 18

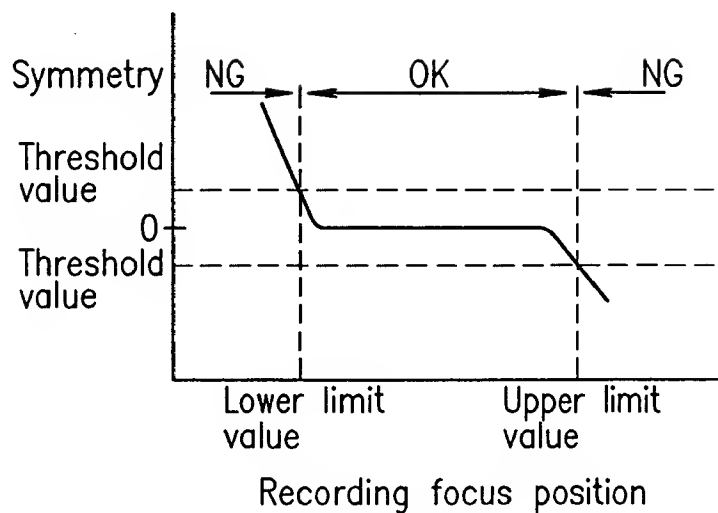
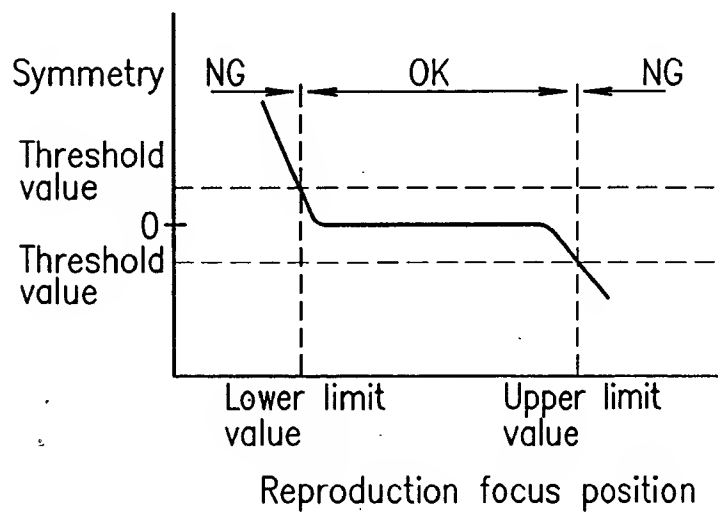
FIG. 19A*FIG. 19B*

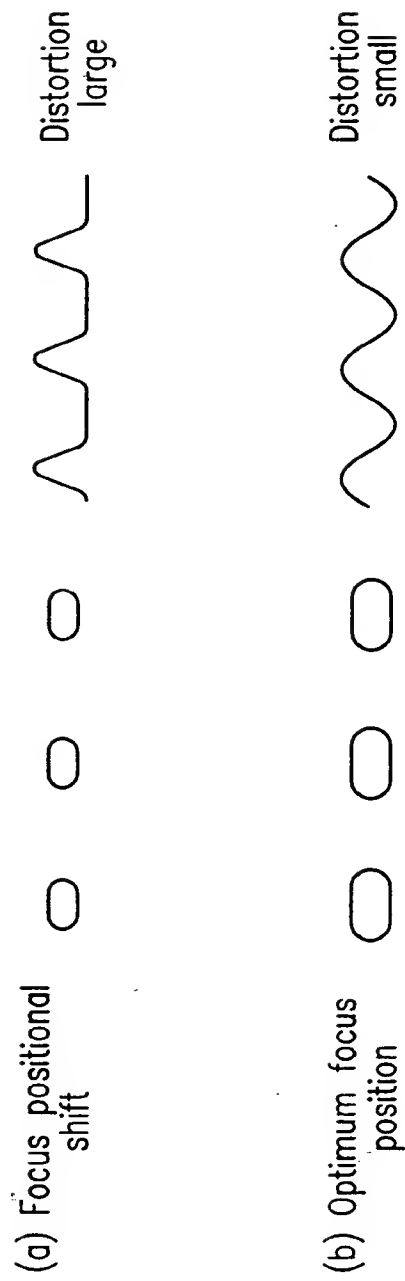
FIG. 20

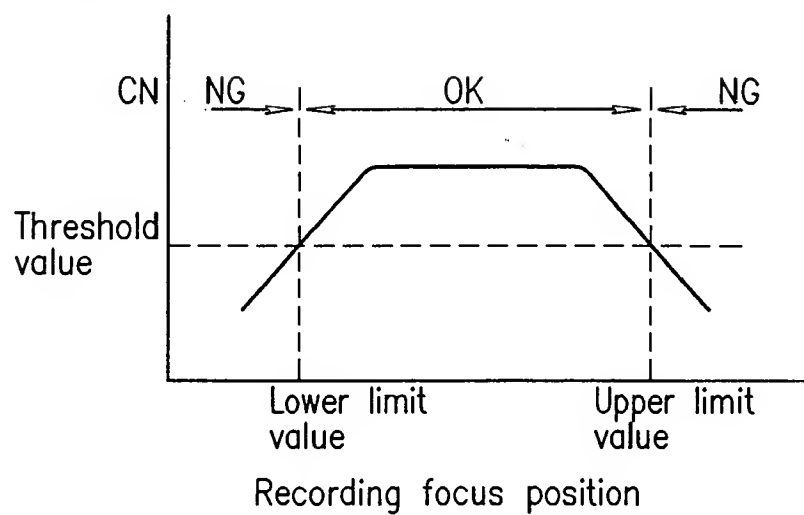
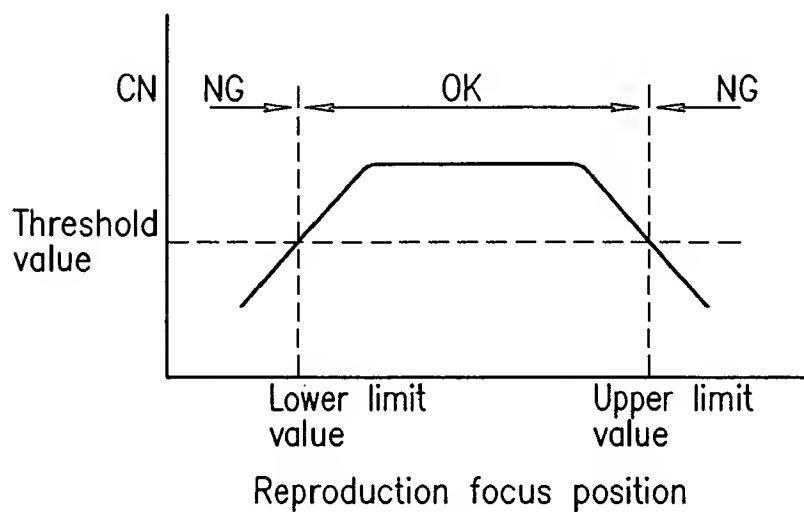
FIG. 21A*FIG. 21B*

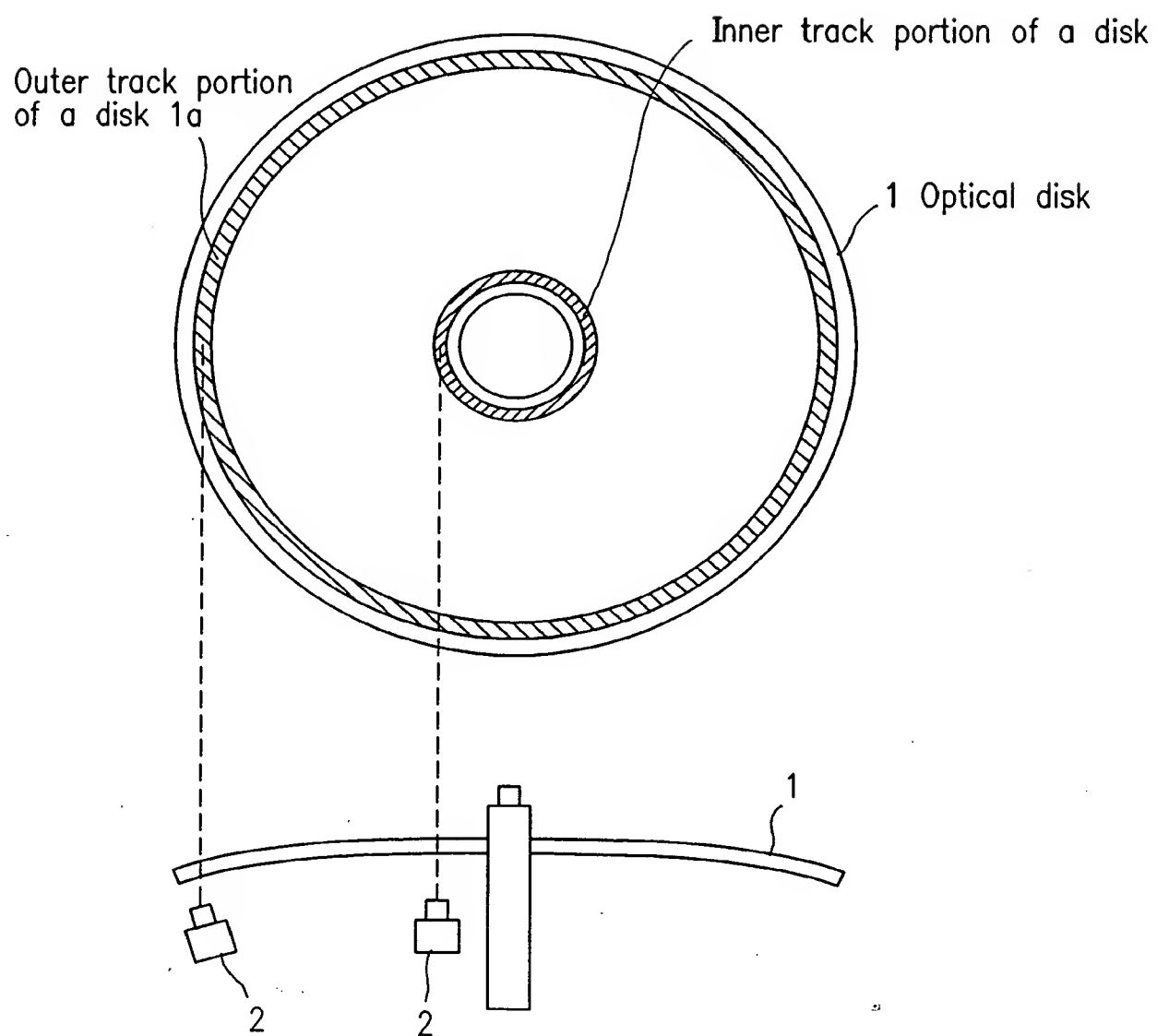
FIG. 22A

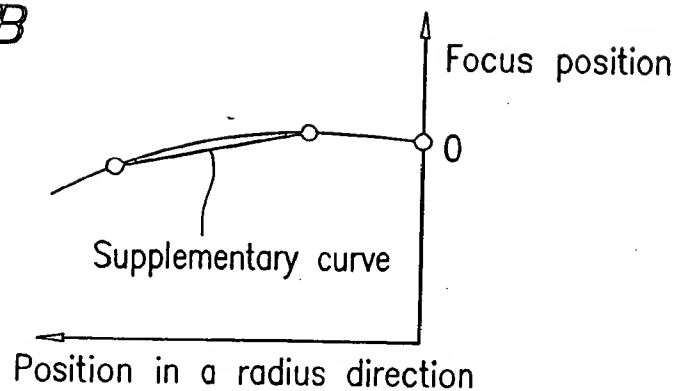
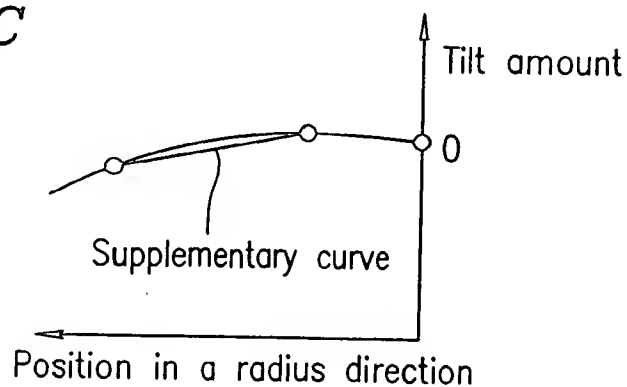
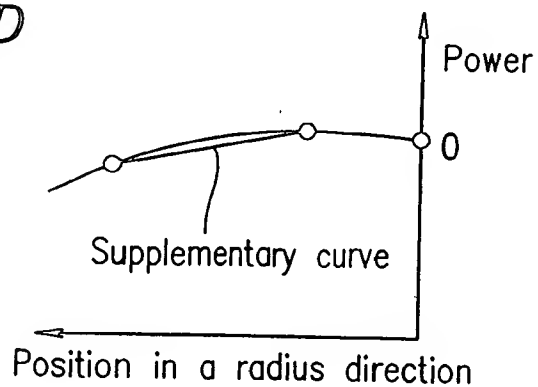
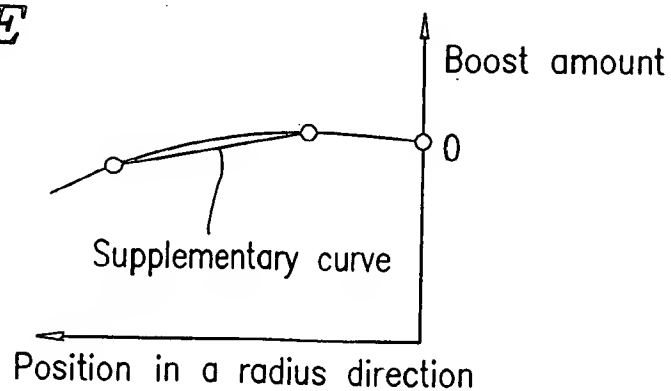
FIG. 22B*FIG. 22C**FIG. 22D**FIG. 22E*

FIG. 23

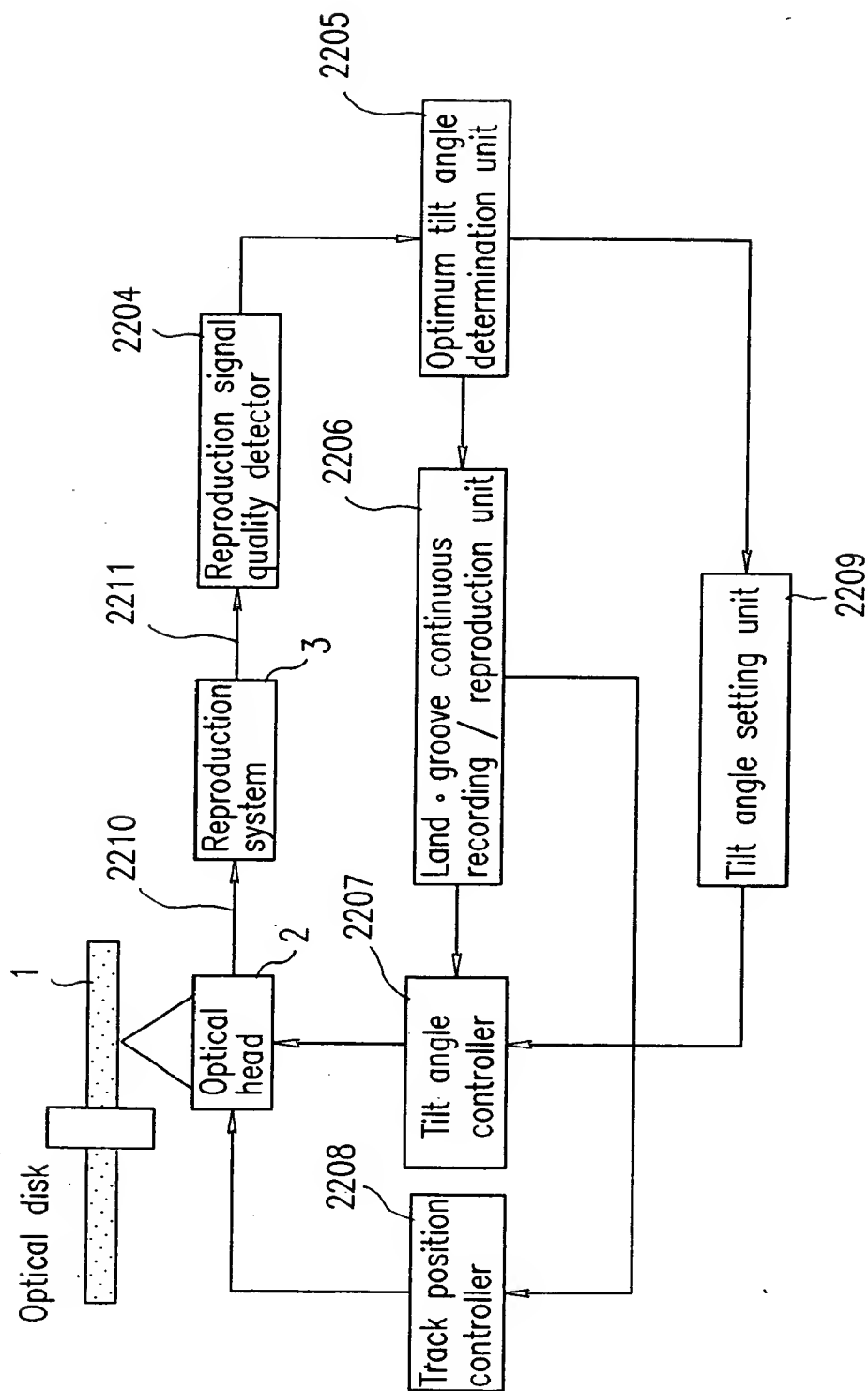


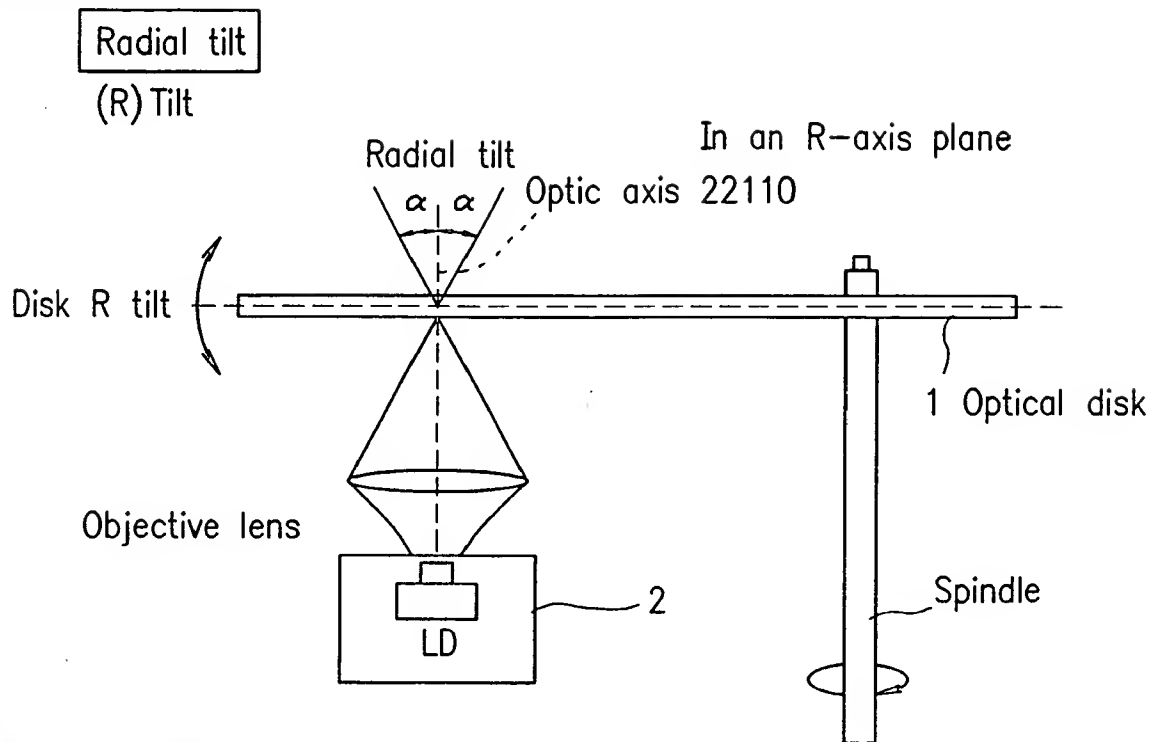
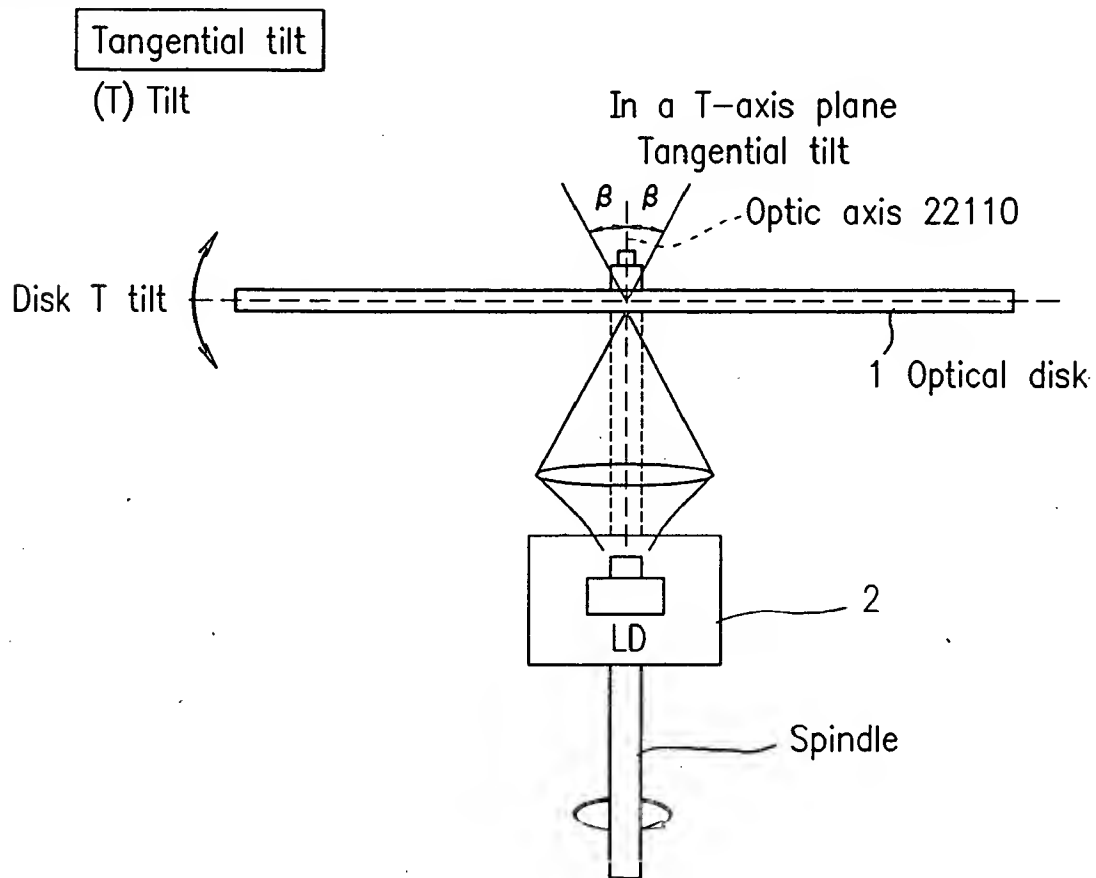
FIG. 24A**FIG. 24B**

FIG. 25

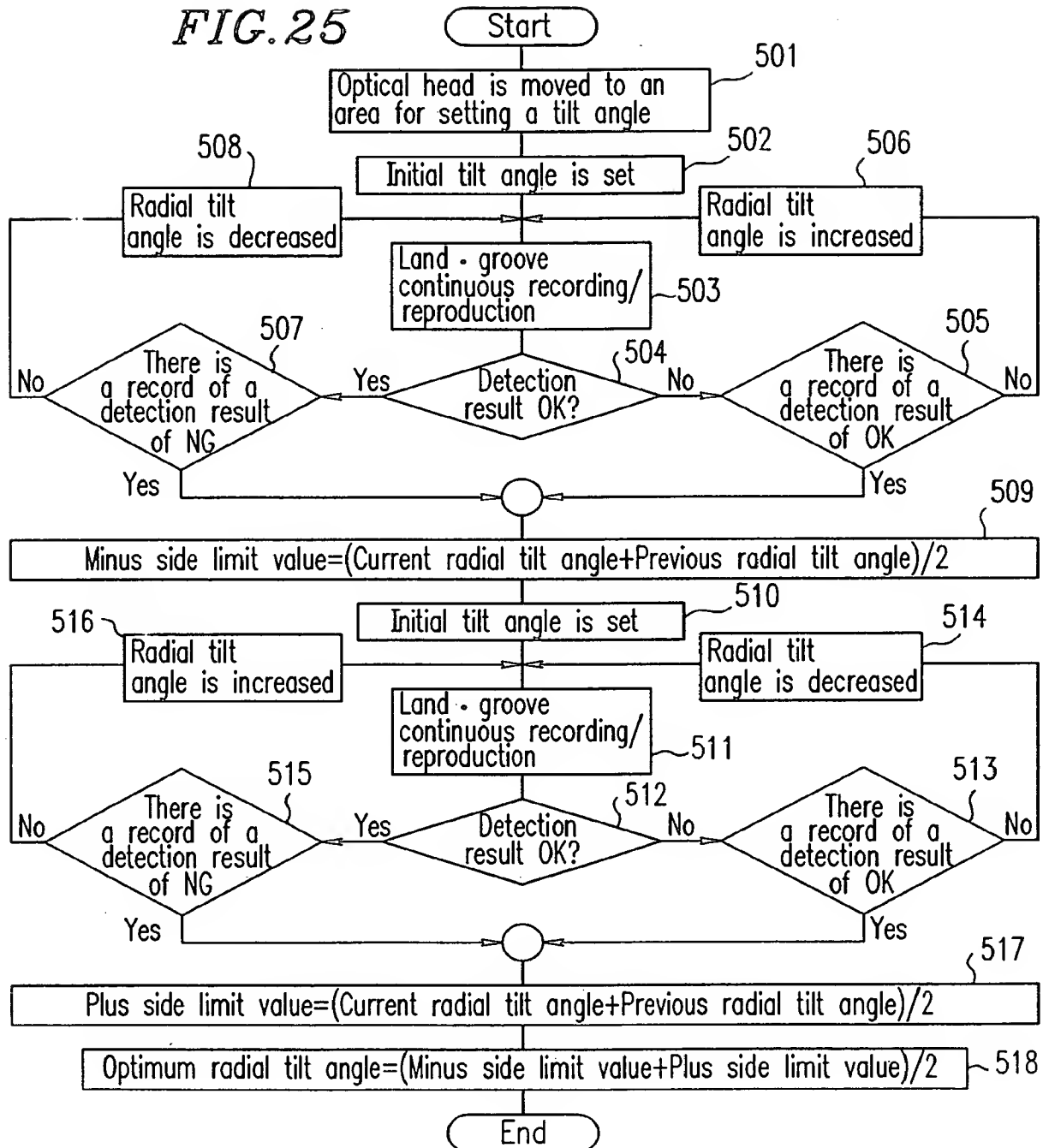


FIG.26A

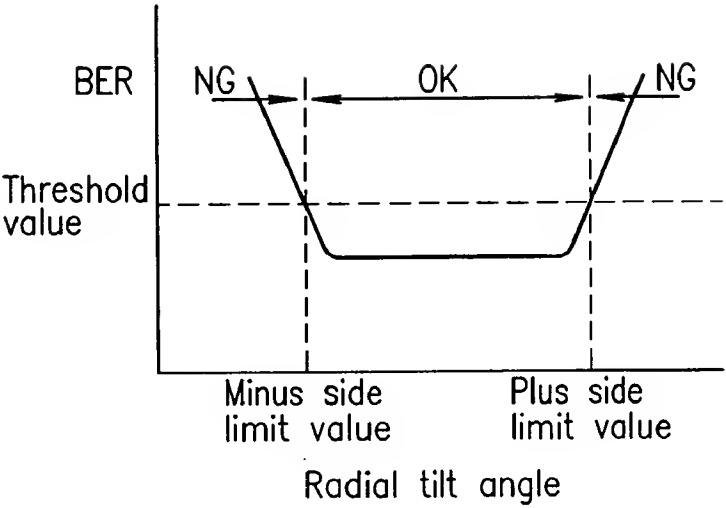


FIG.26B

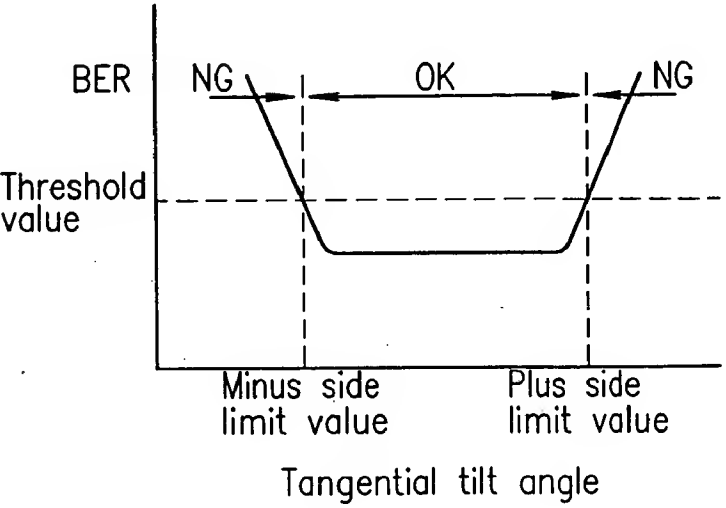


FIG. 27

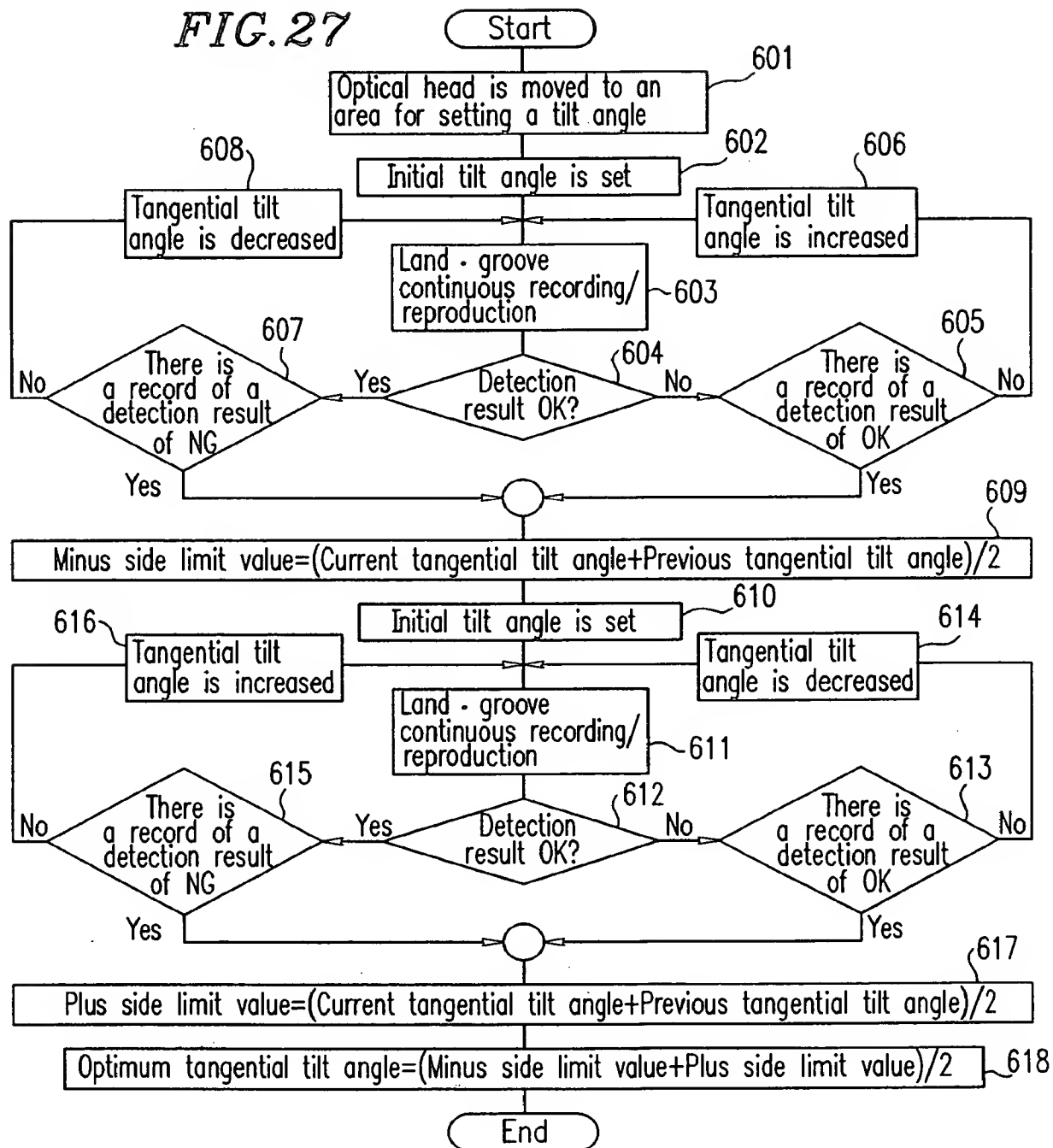


FIG. 28

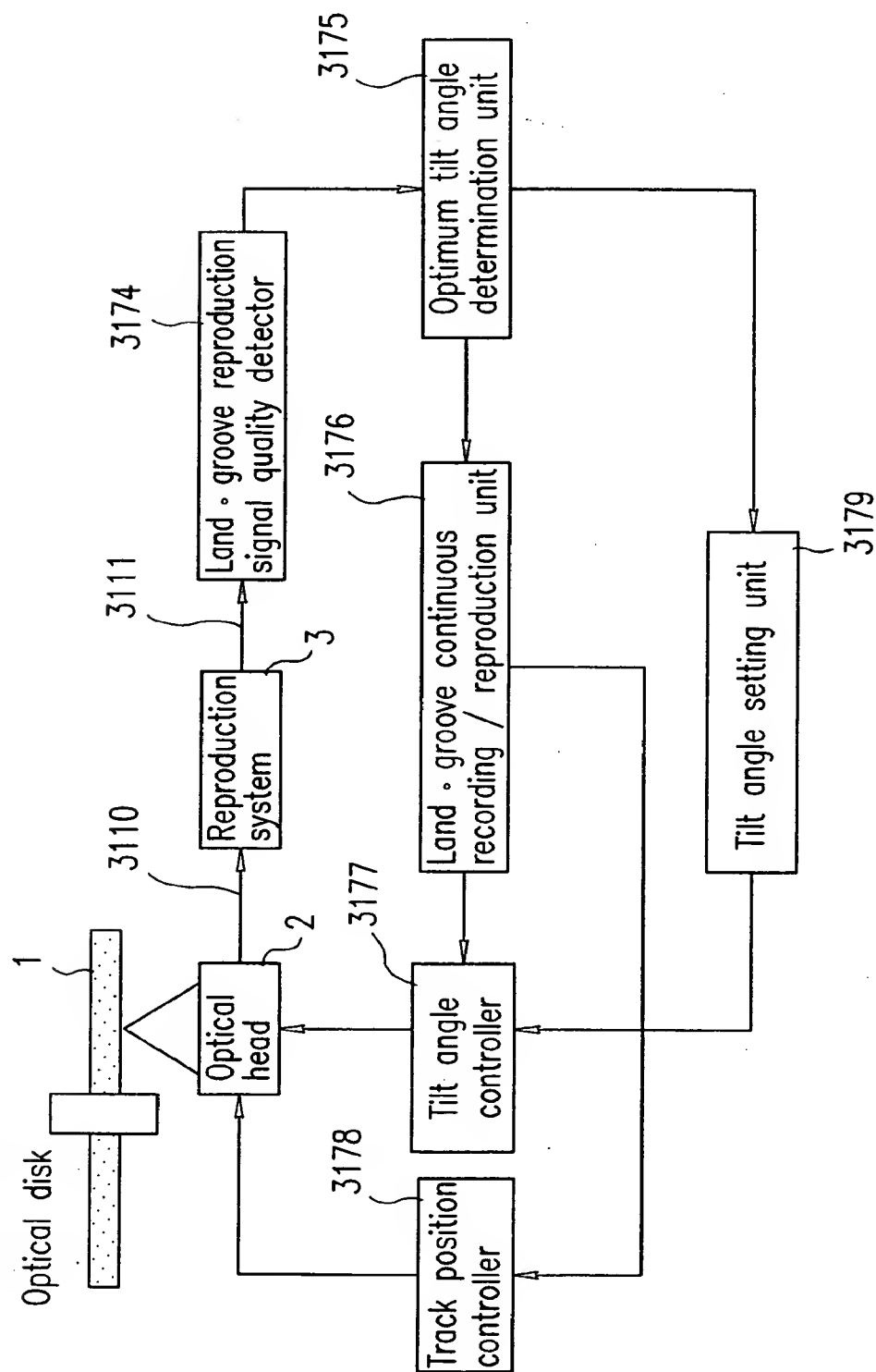


FIG. 29

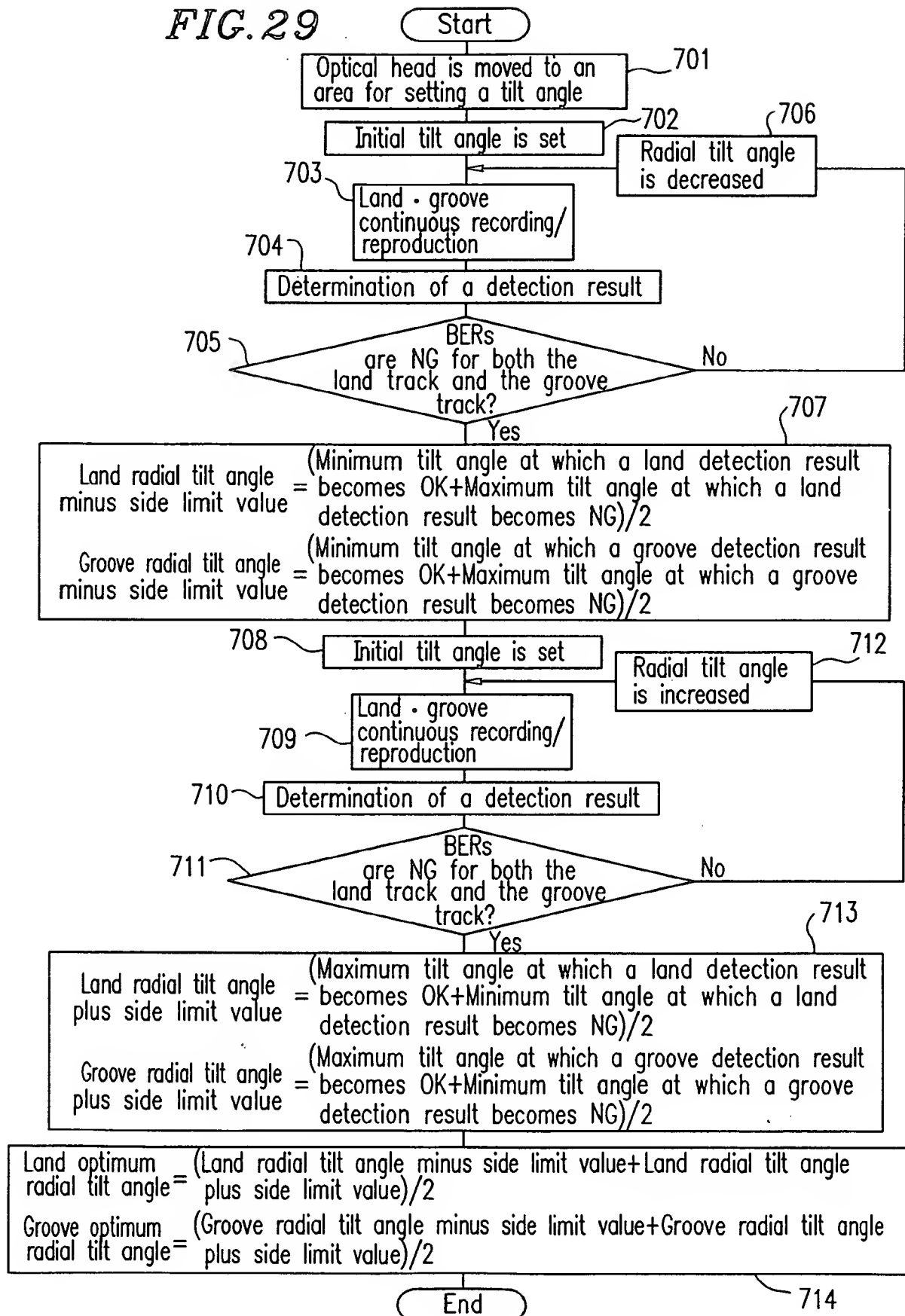


FIG. 30

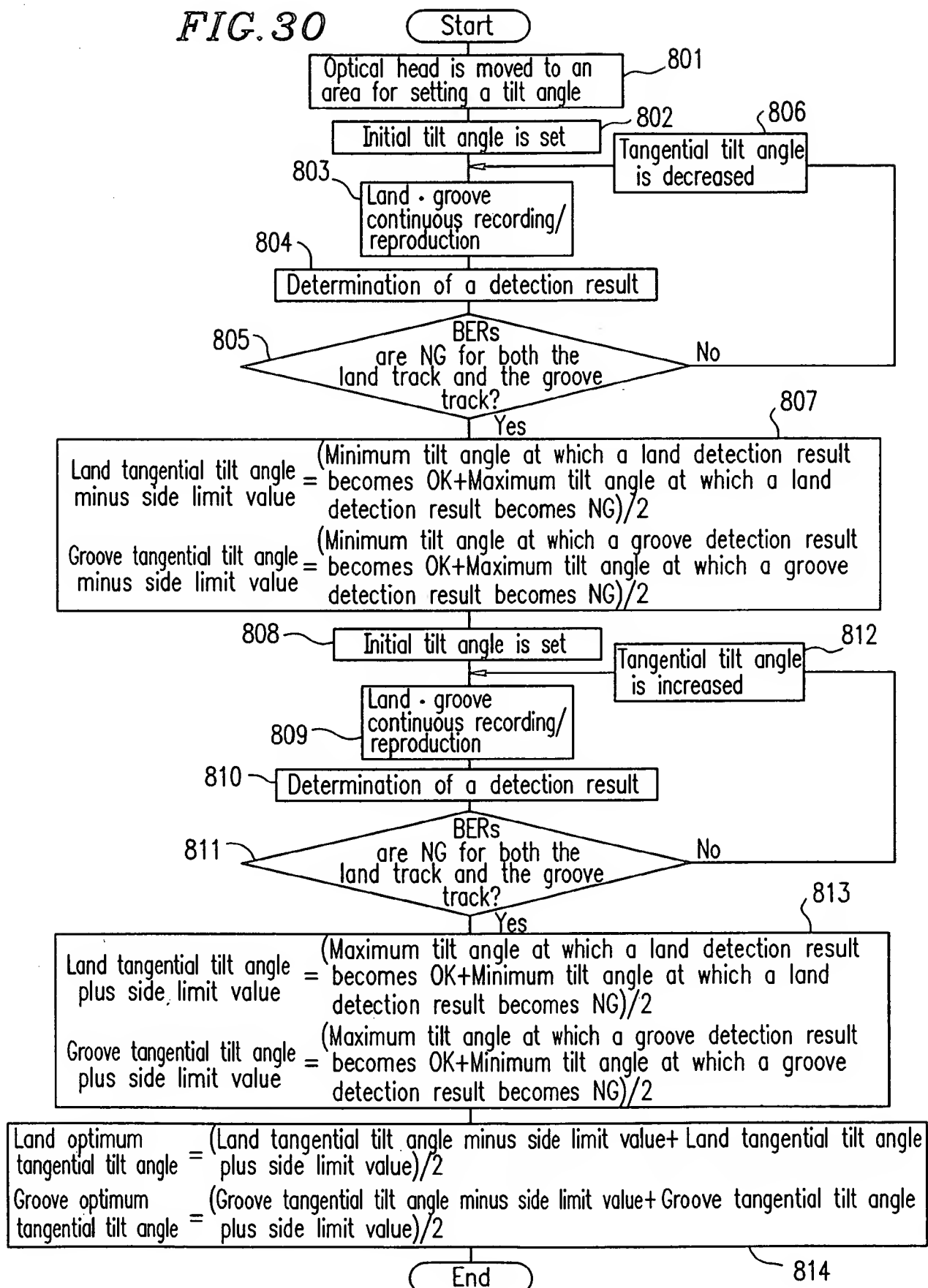


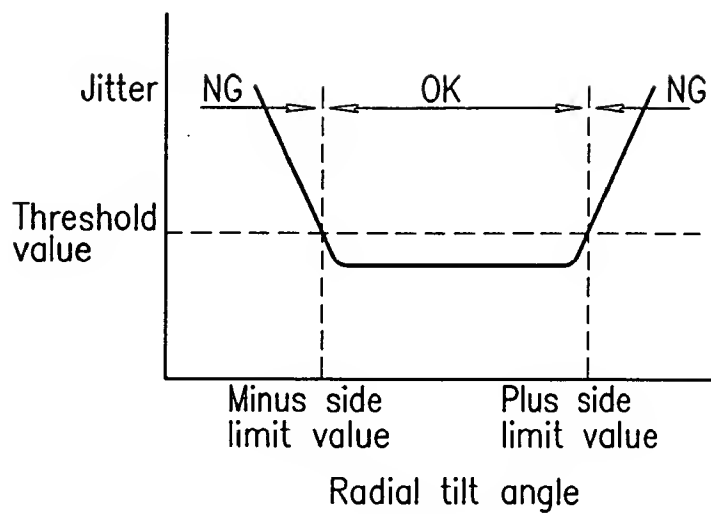
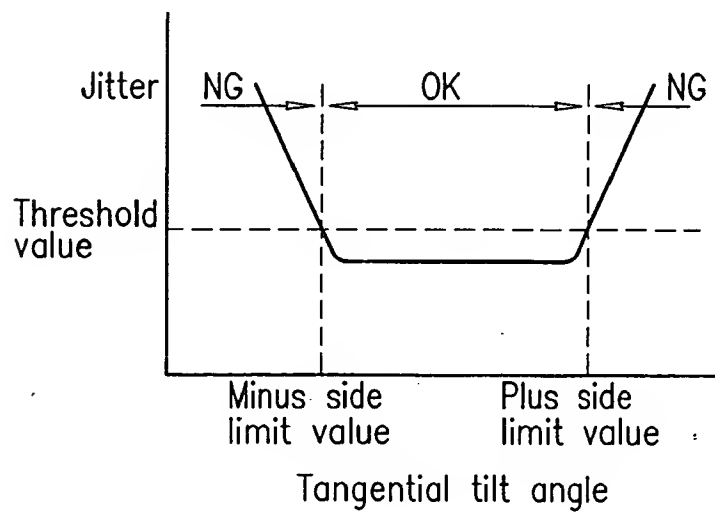
FIG. 31A*FIG. 31B*

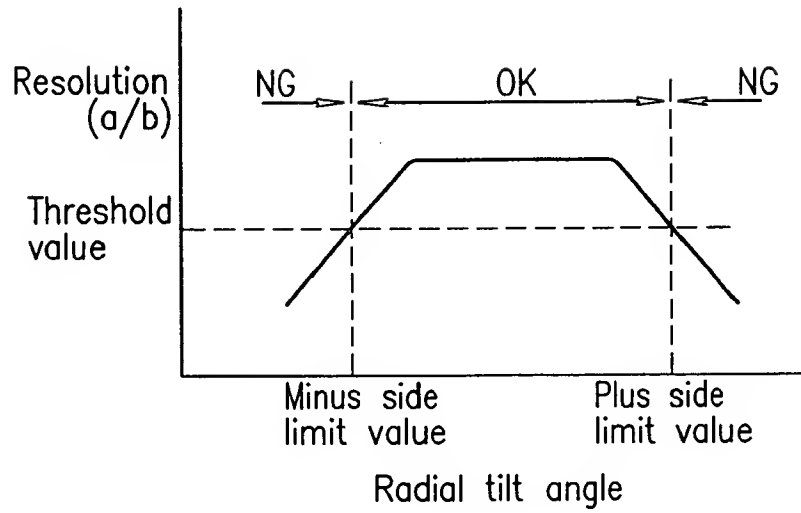
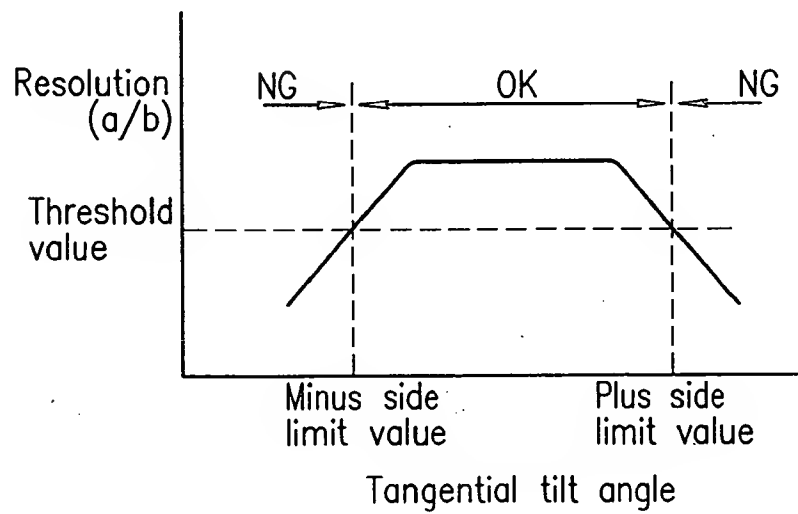
FIG. 32A*FIG. 32B*

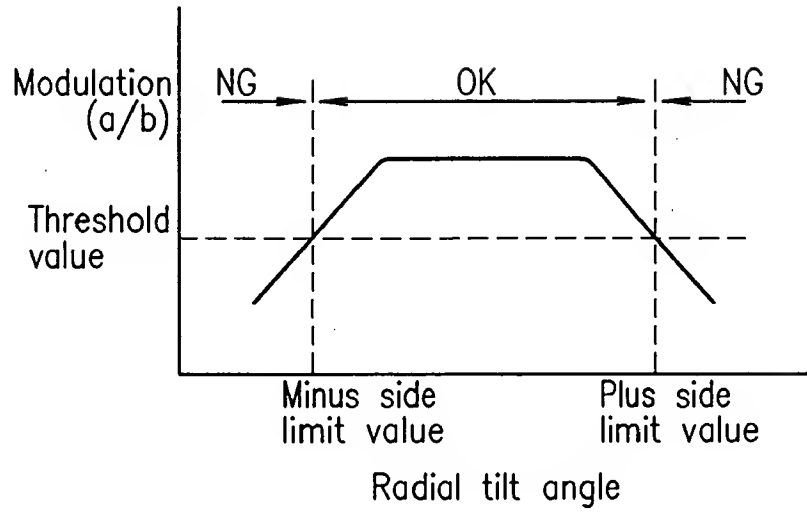
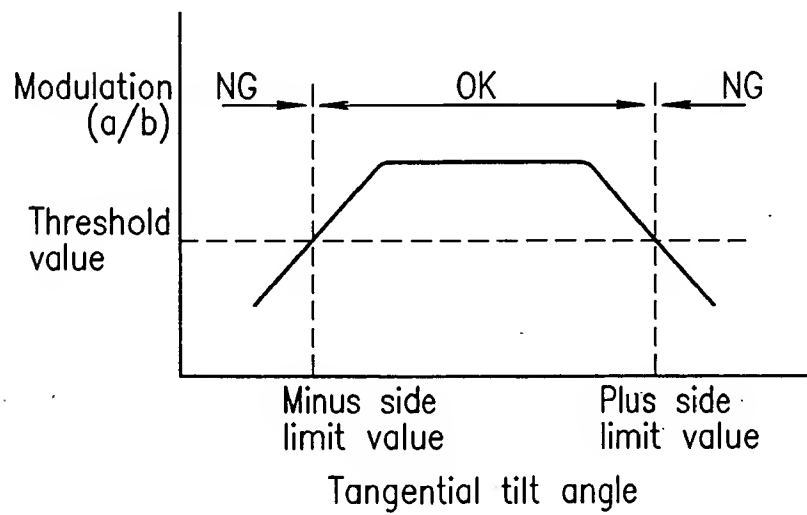
FIG. 33A**FIG. 33B**

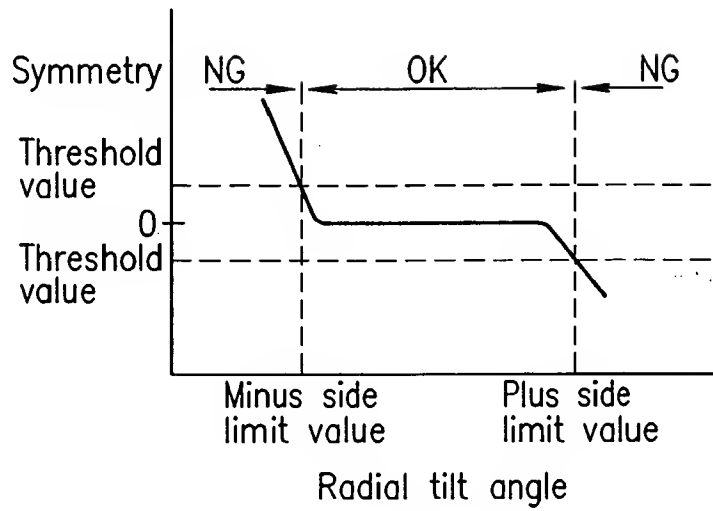
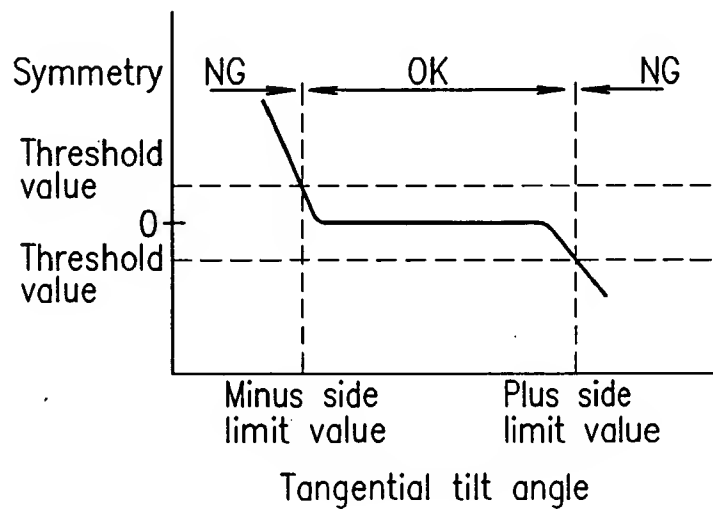
FIG. 34A**FIG. 34B**

FIG.35

(a) There is a tilt   Distortion
large

(b) Optimum tilt angle   Distortion
small

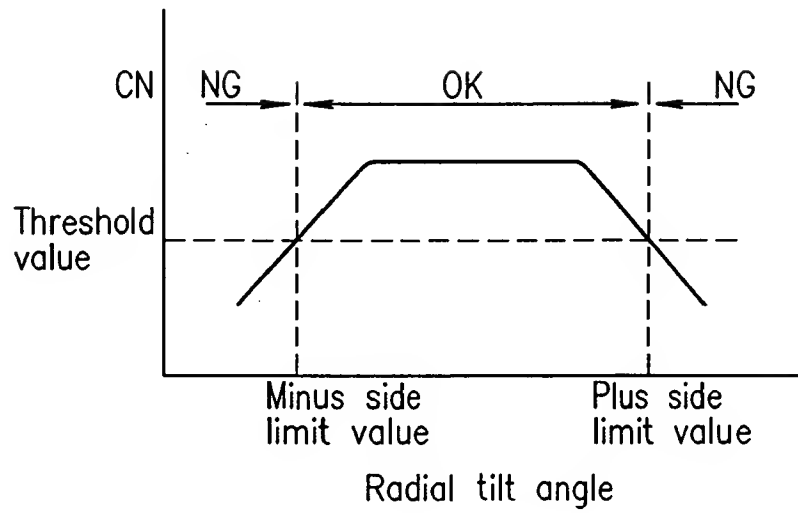
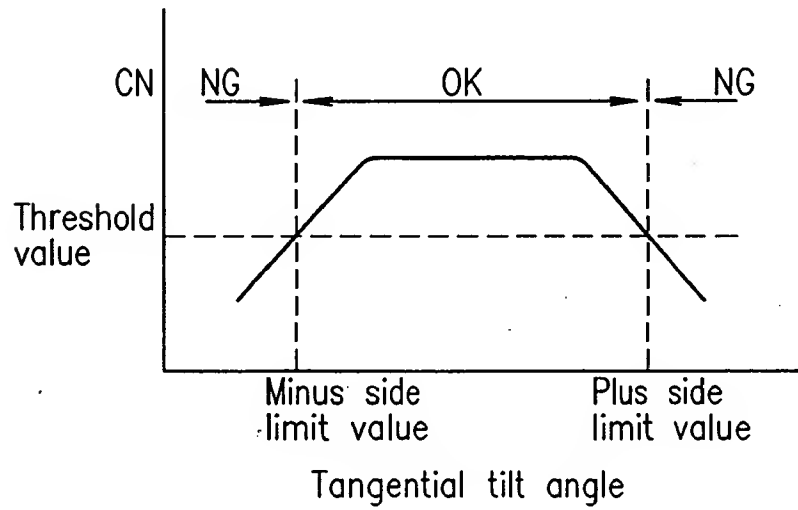
FIG. 36A*FIG. 36B*

FIG. 37

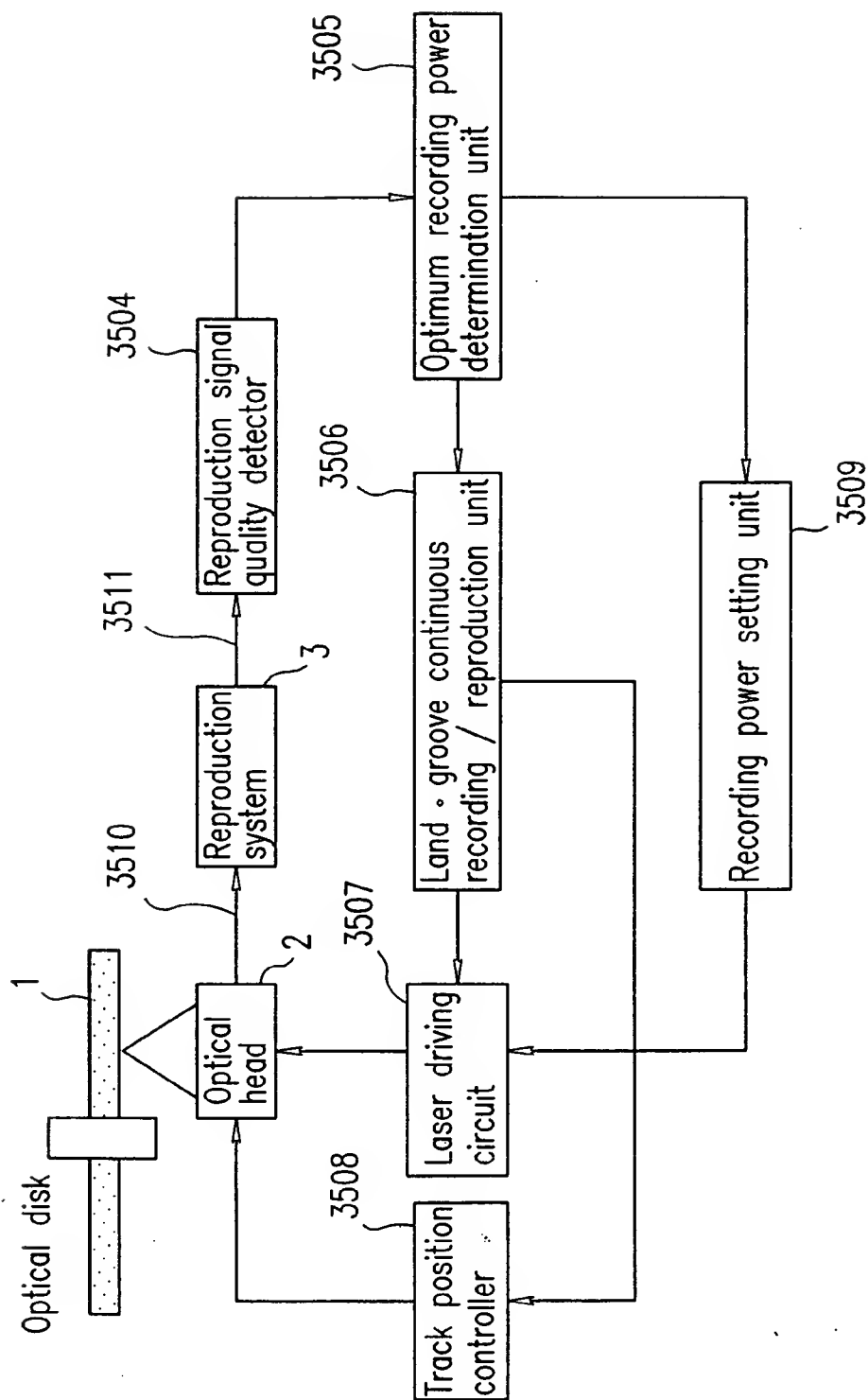


FIG. 38

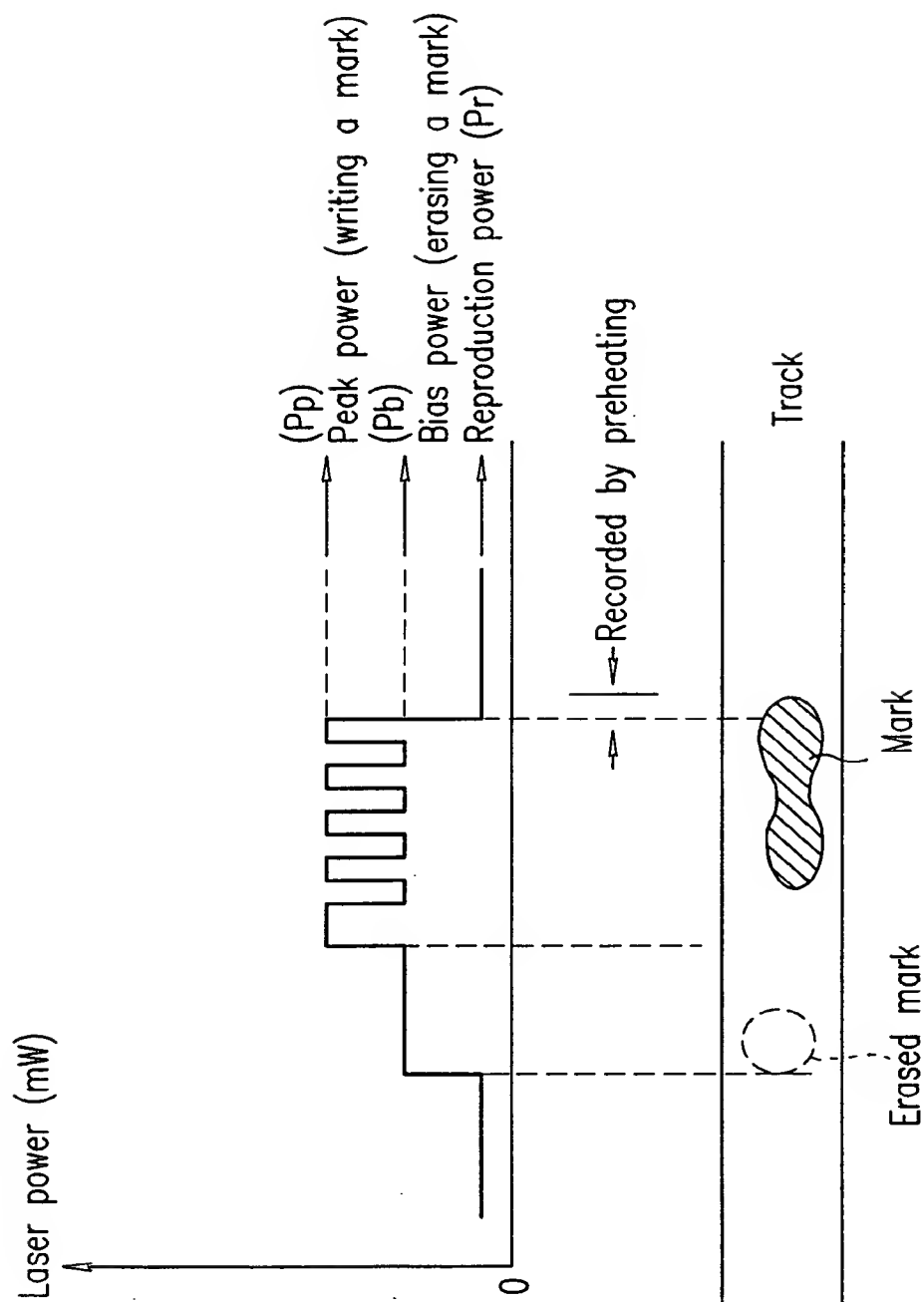


FIG. 39

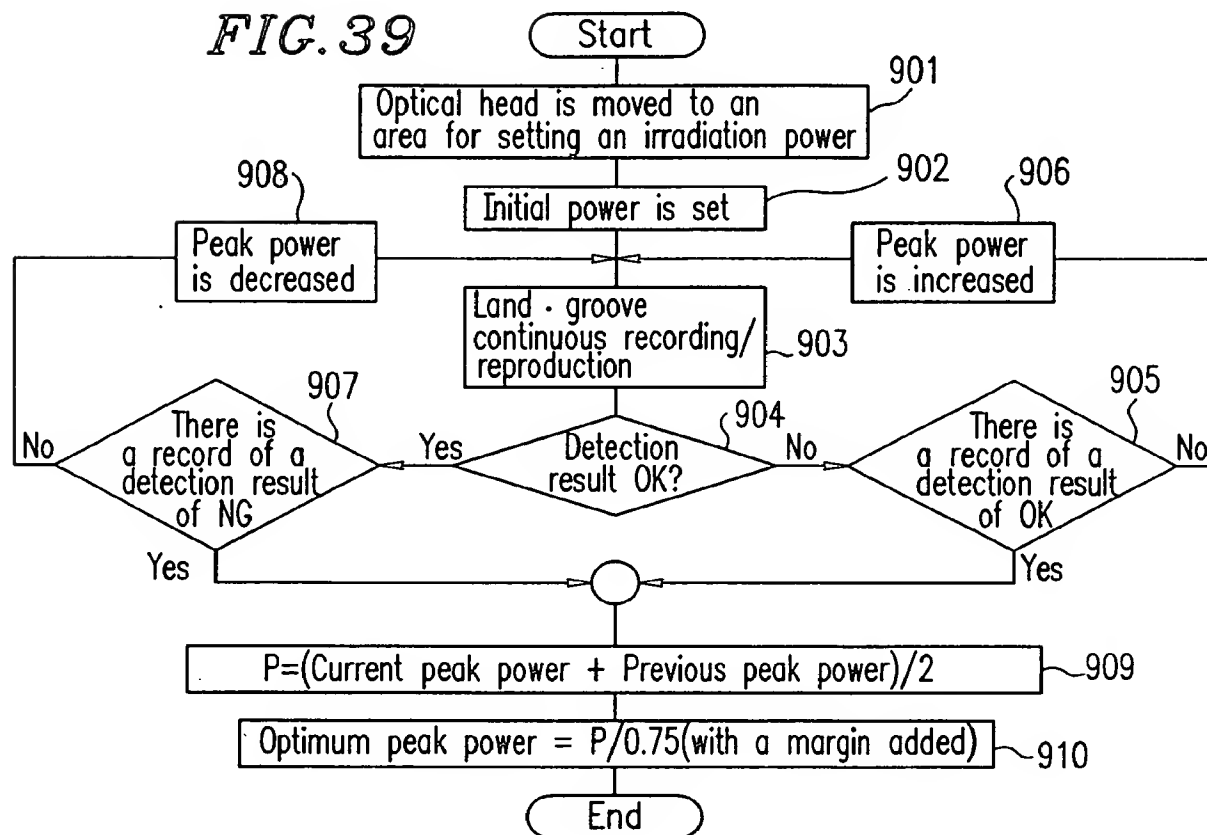


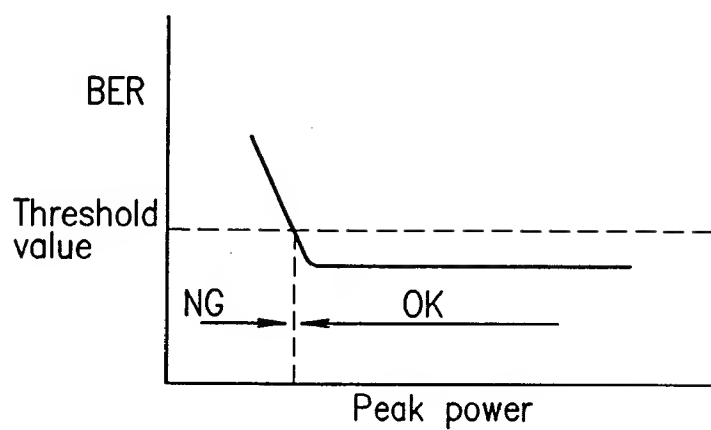
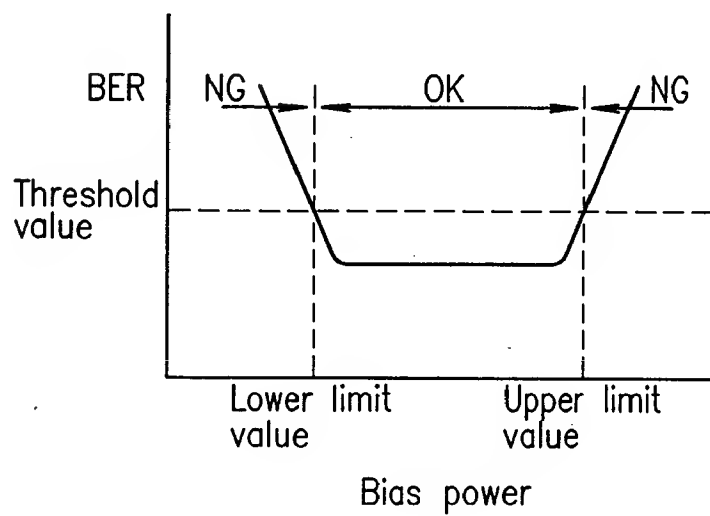
FIG. 40A*FIG. 40B*

FIG. 41

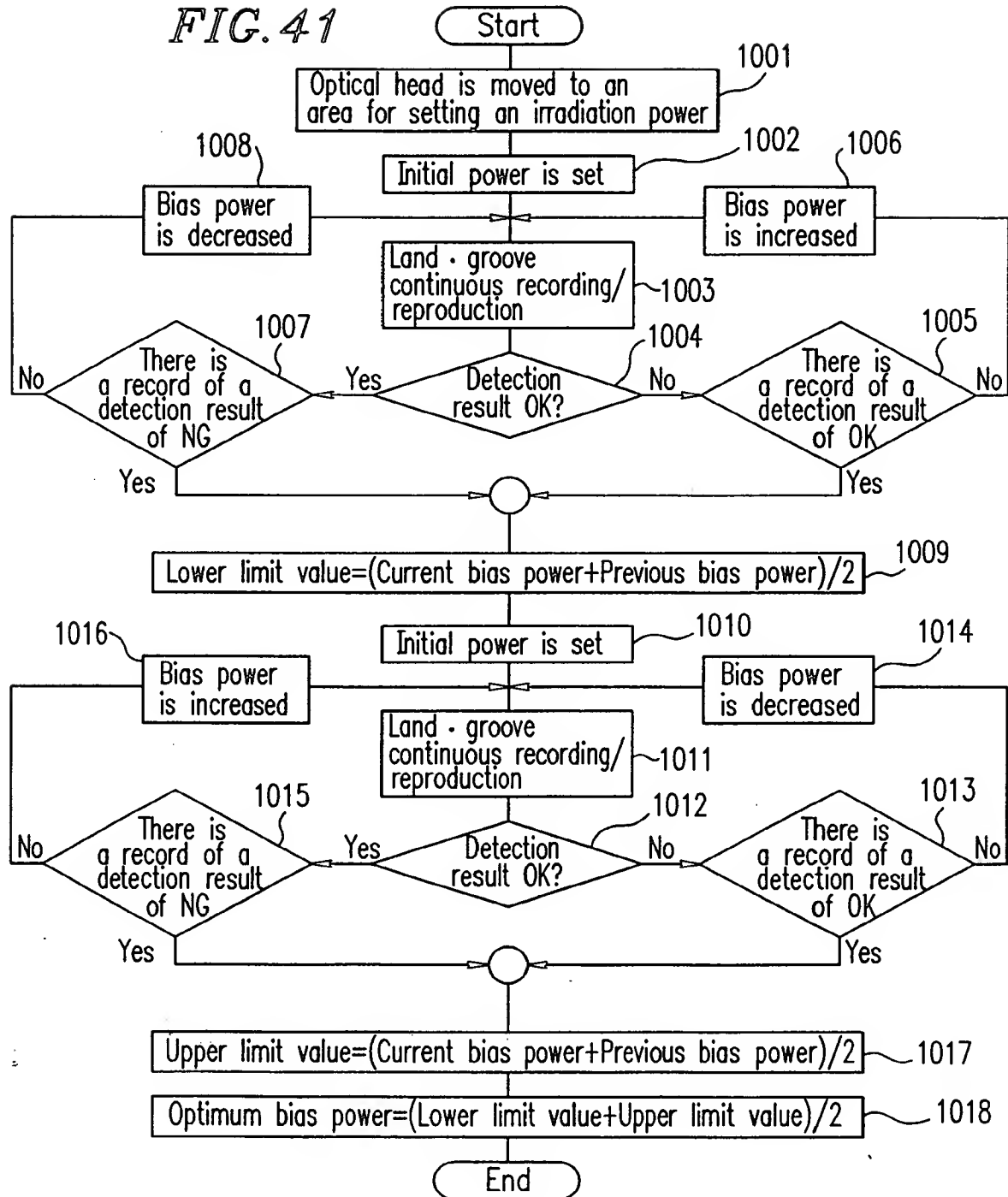


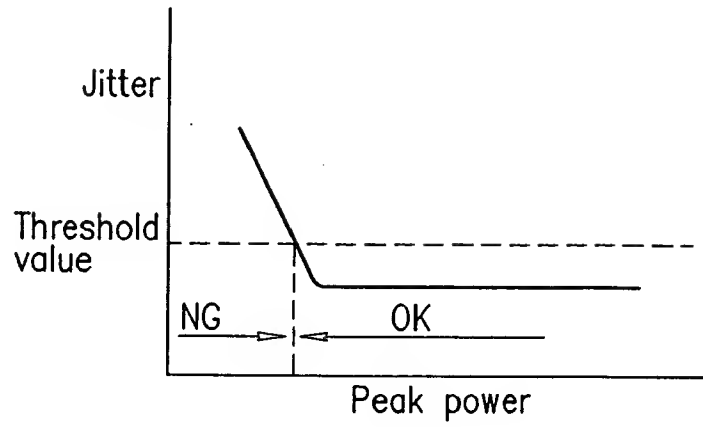
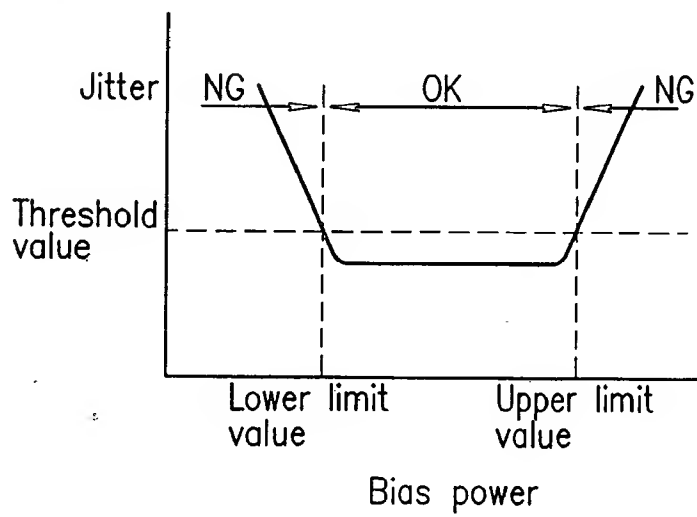
FIG. 42A*FIG. 42B*

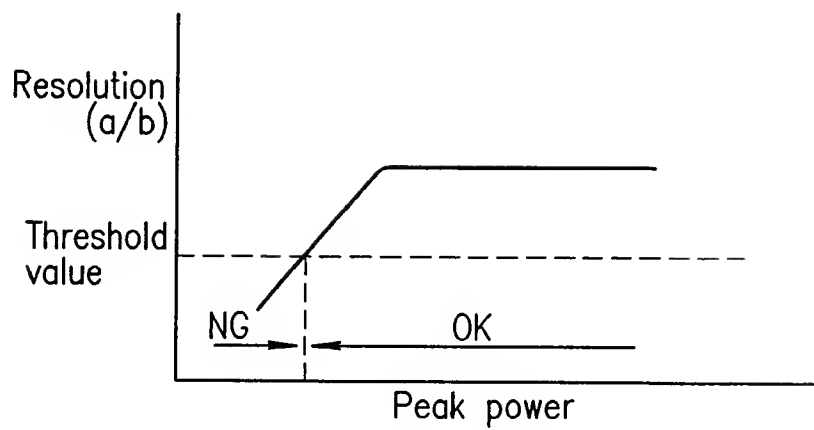
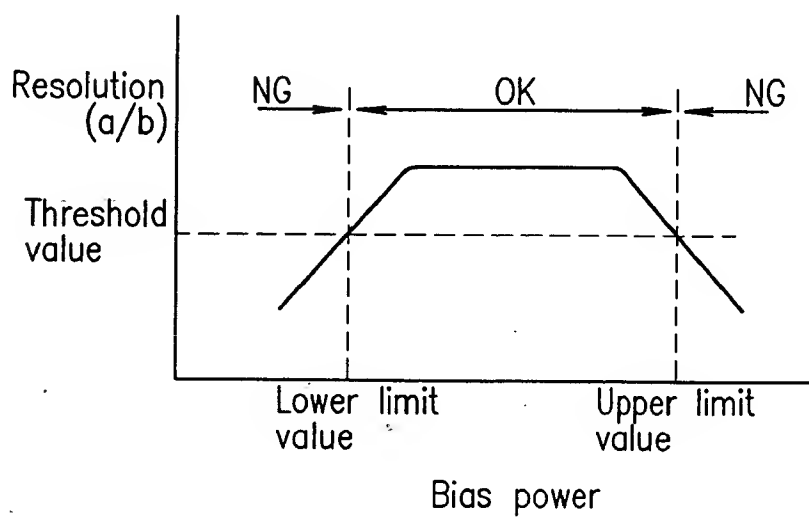
FIG. 43A**FIG. 43B**

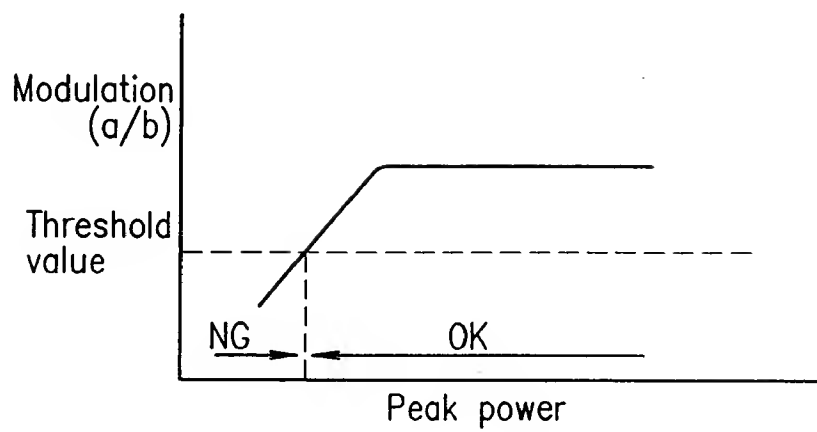
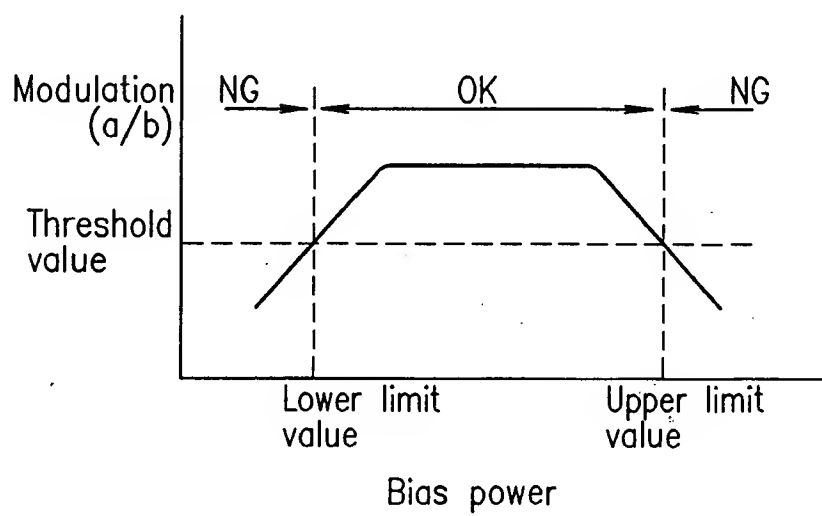
FIG. 44A*FIG. 44B*

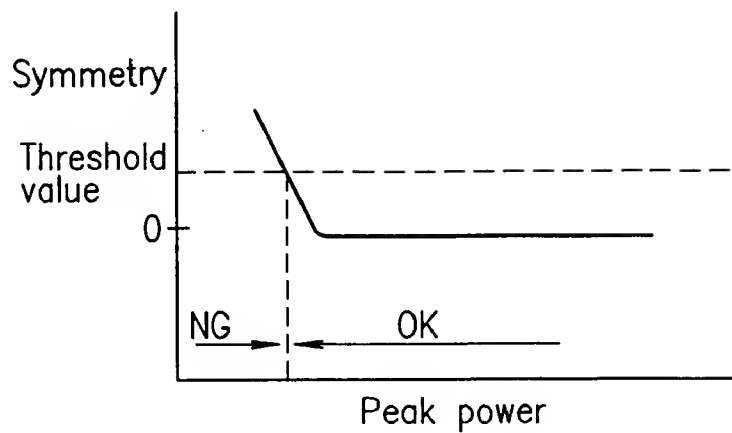
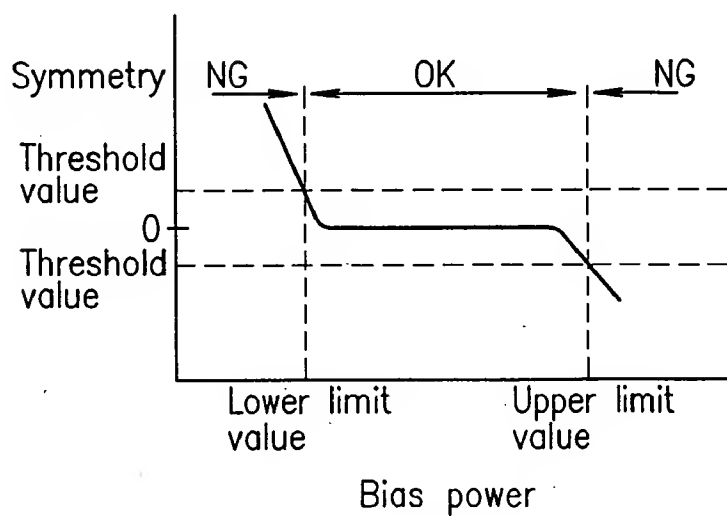
FIG. 45A*FIG. 45B*

FIG. 46

(a) Insufficient power   Distortion large

(b) Optimum power   Distortion small



(c) Excessive power   Distortion large

FIG. 47

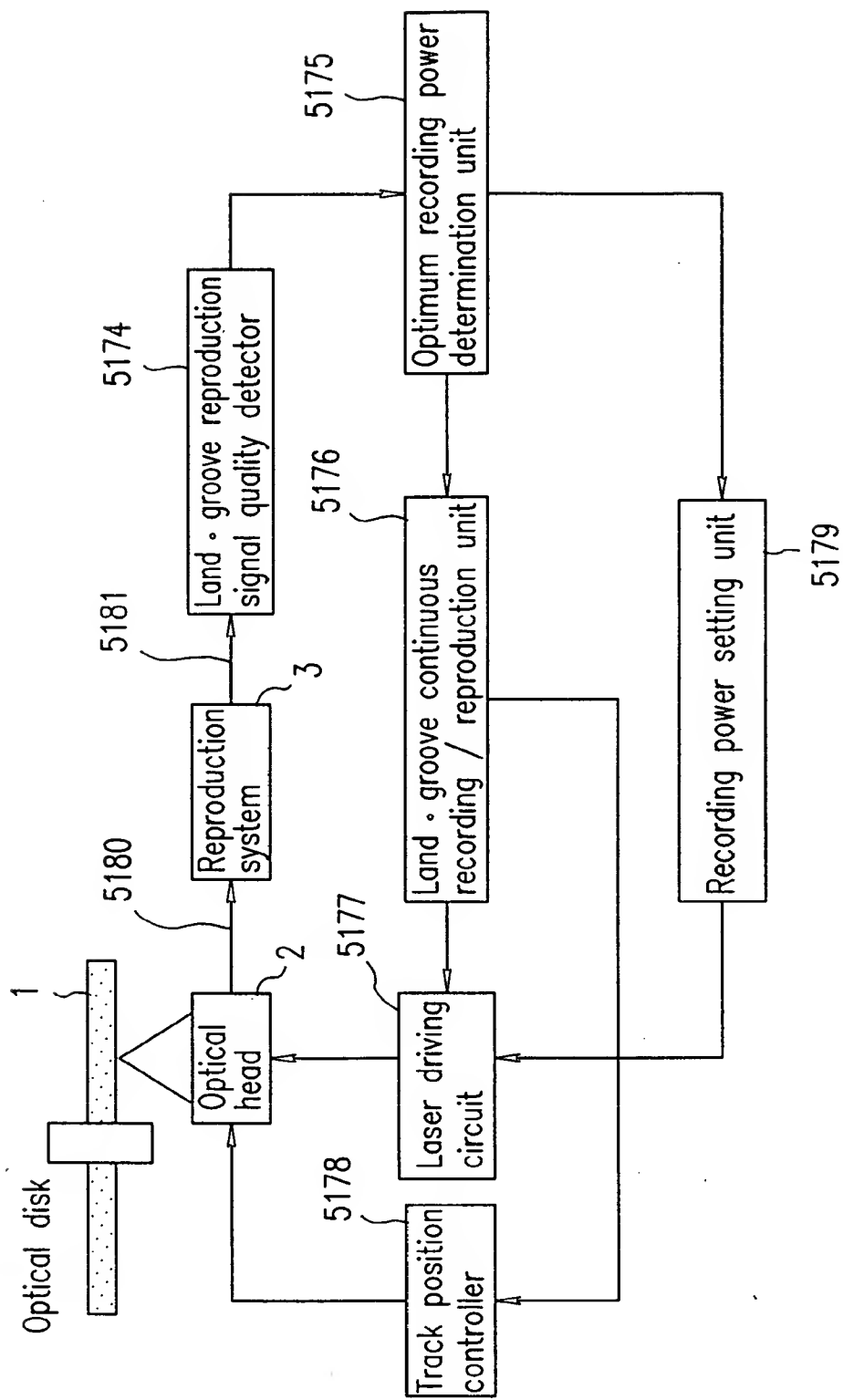


FIG. 48

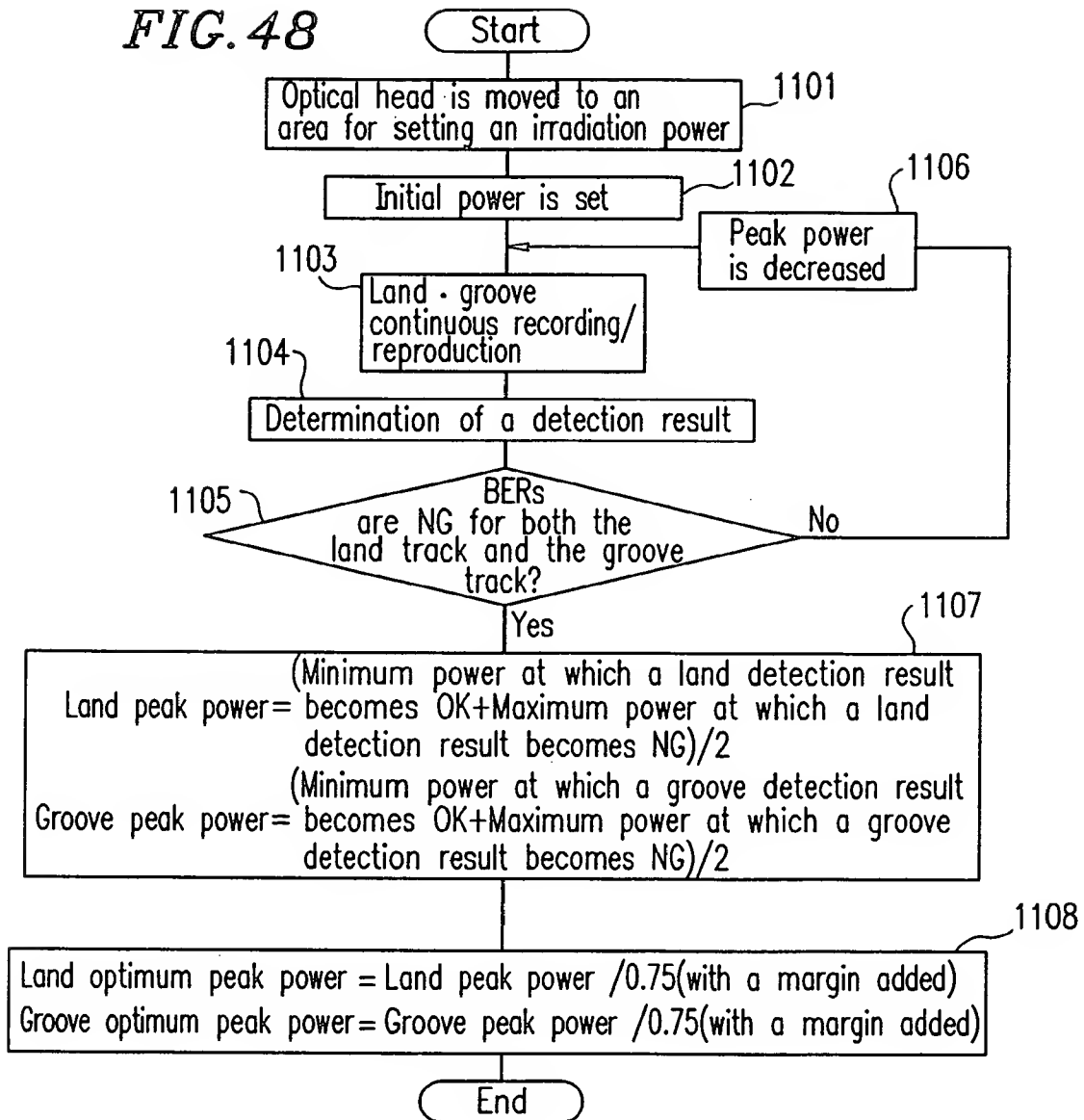


FIG. 49

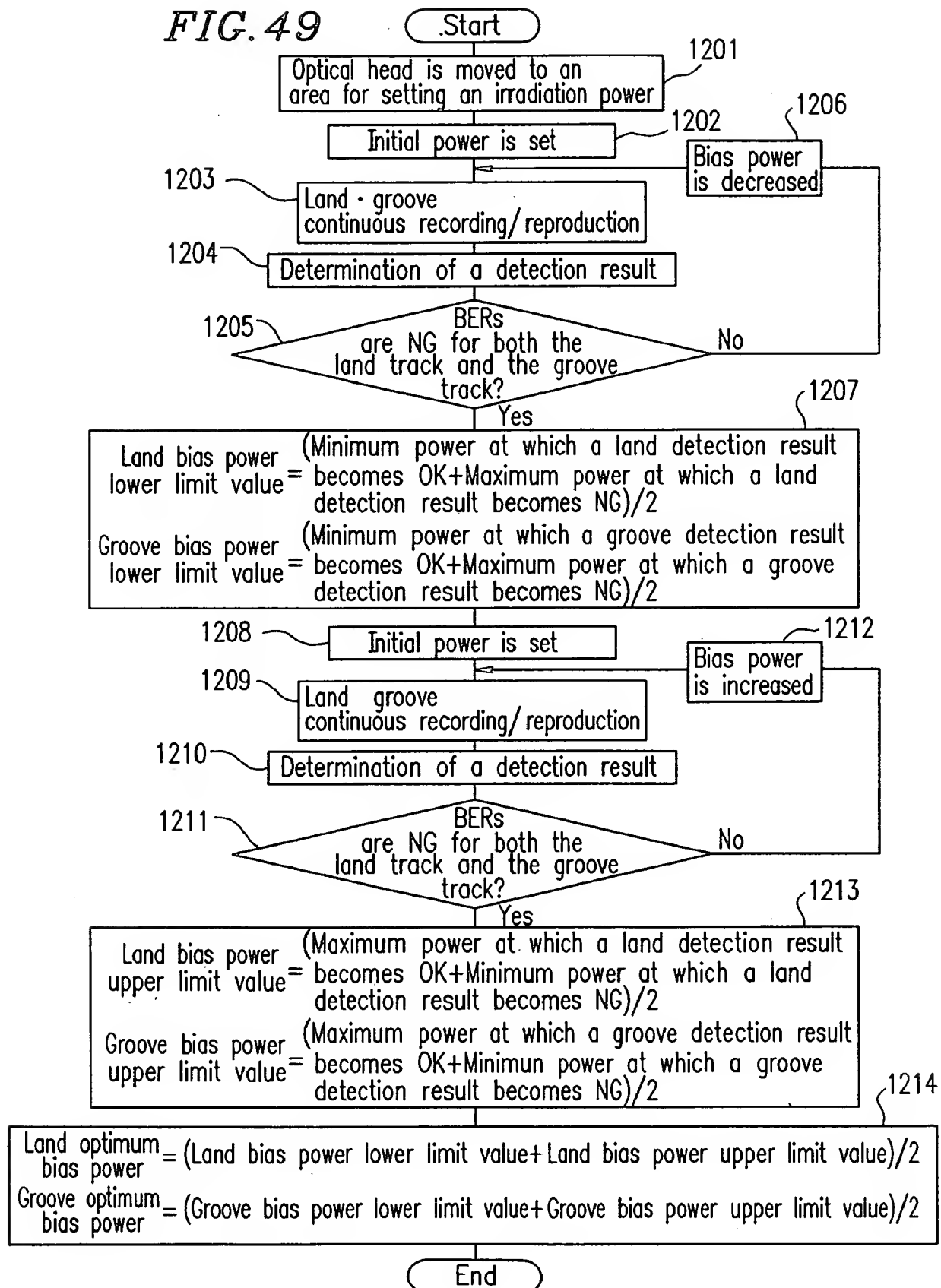
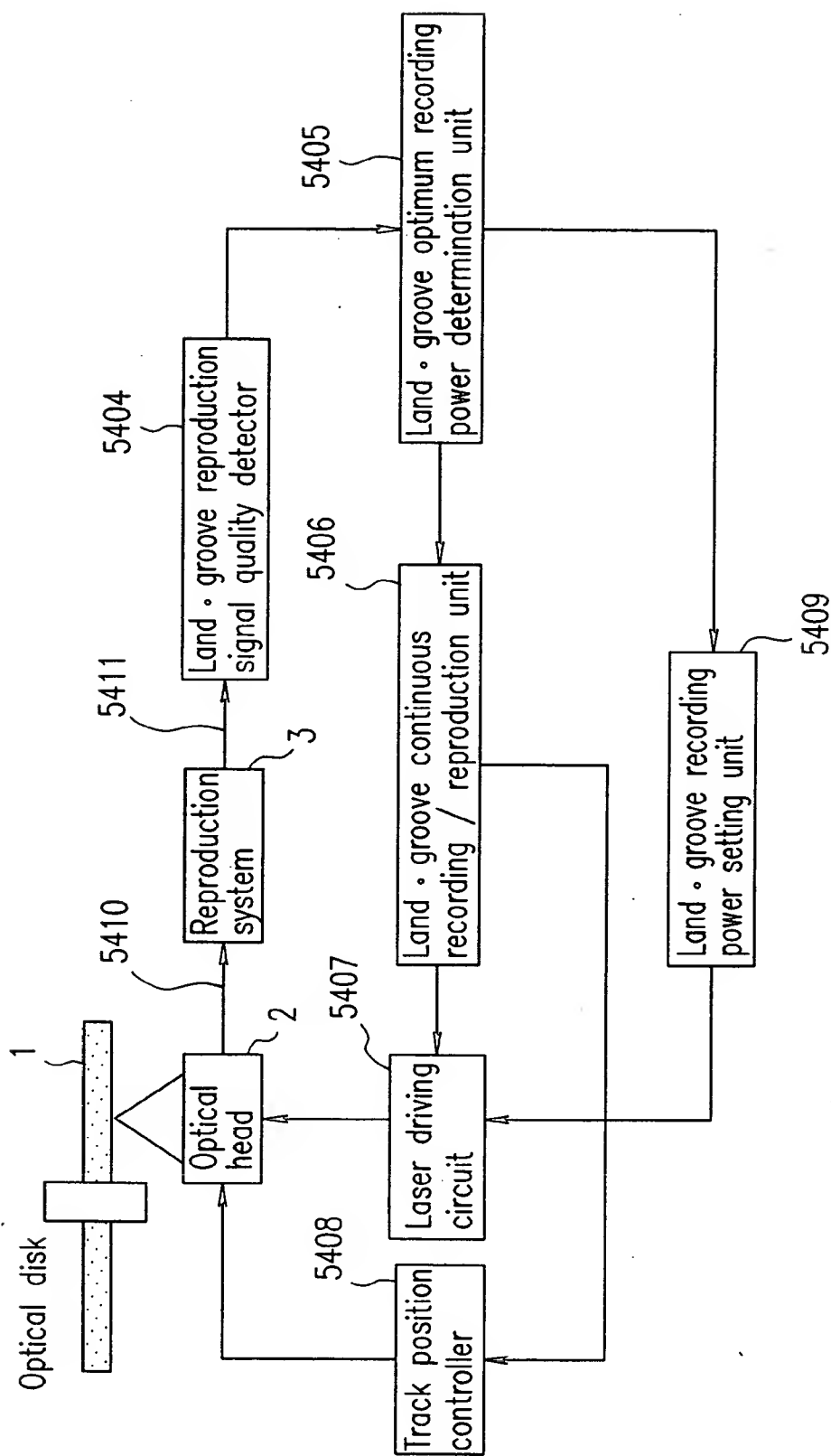


FIG. 50



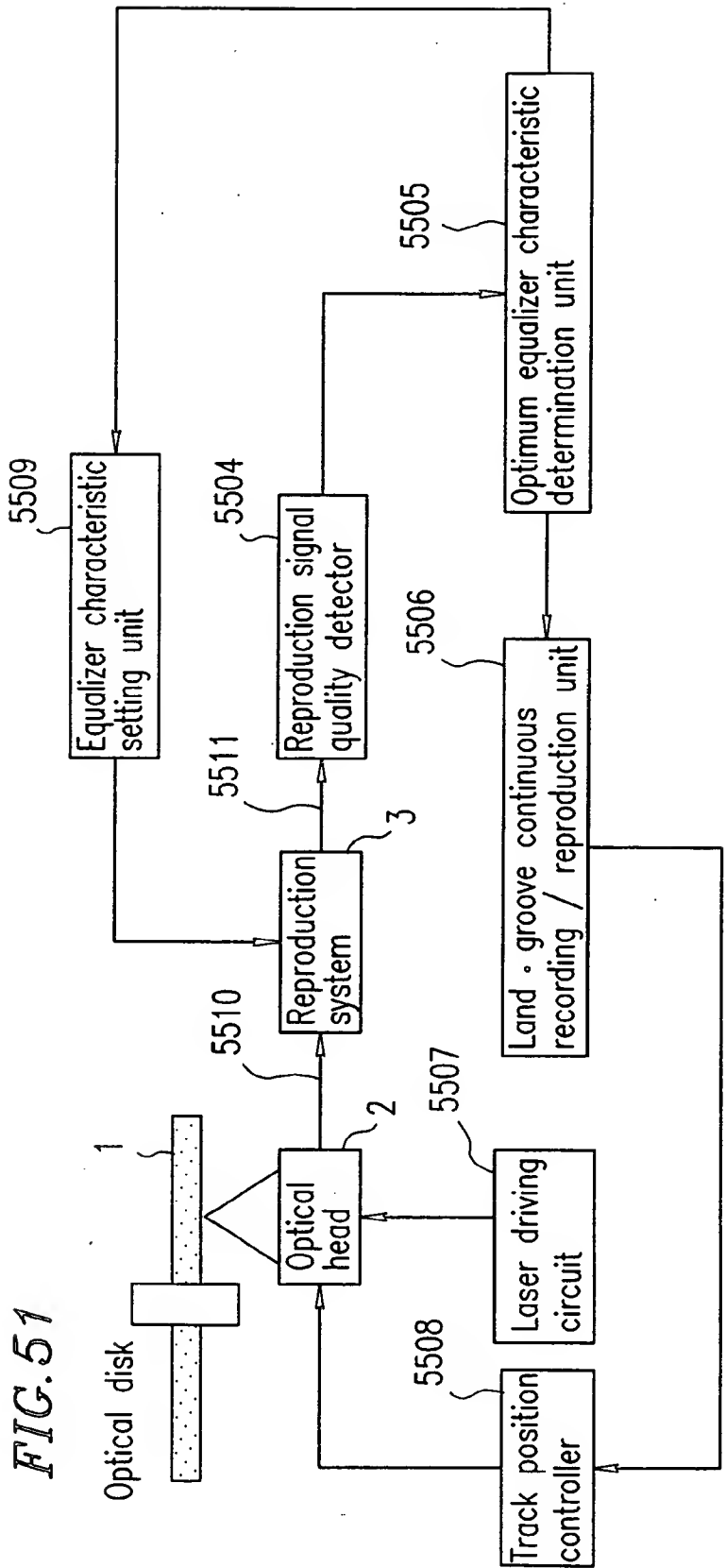


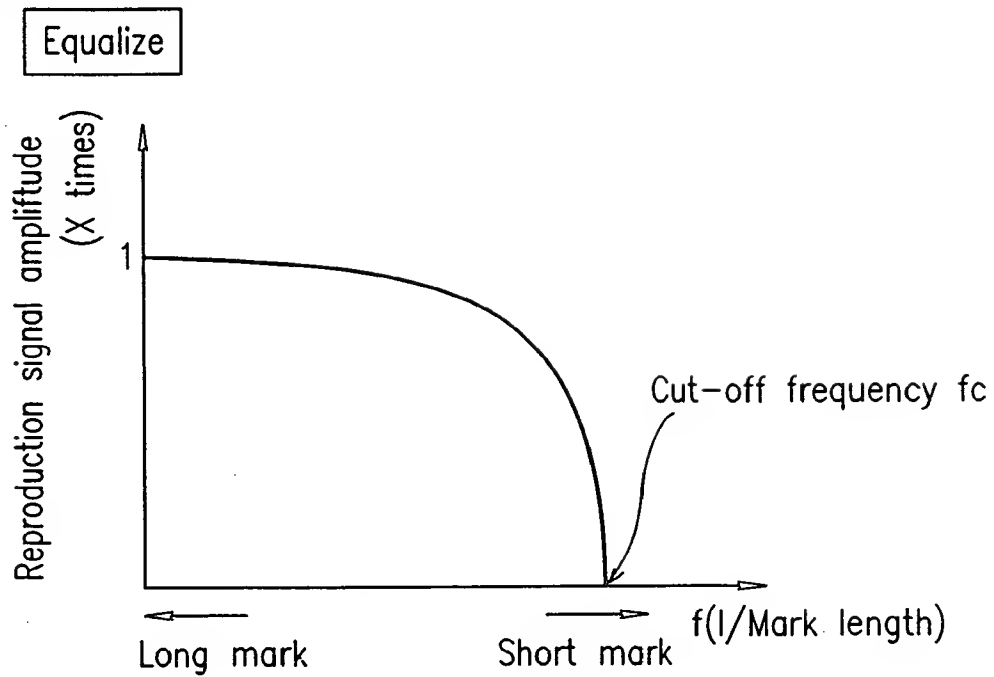
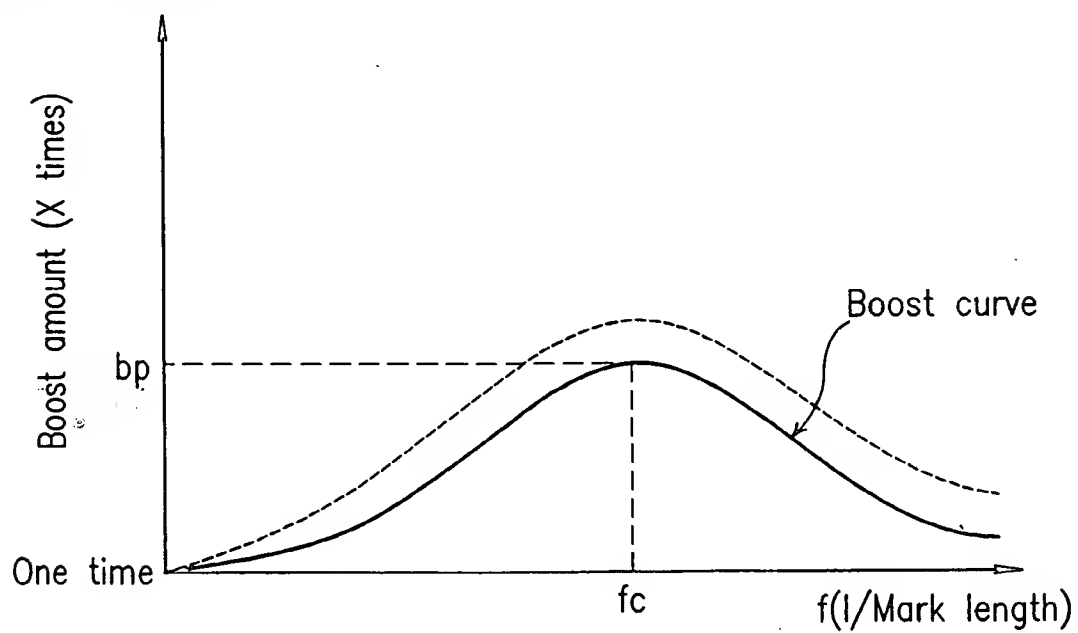
FIG. 52A*FIG. 52B*

FIG. 53

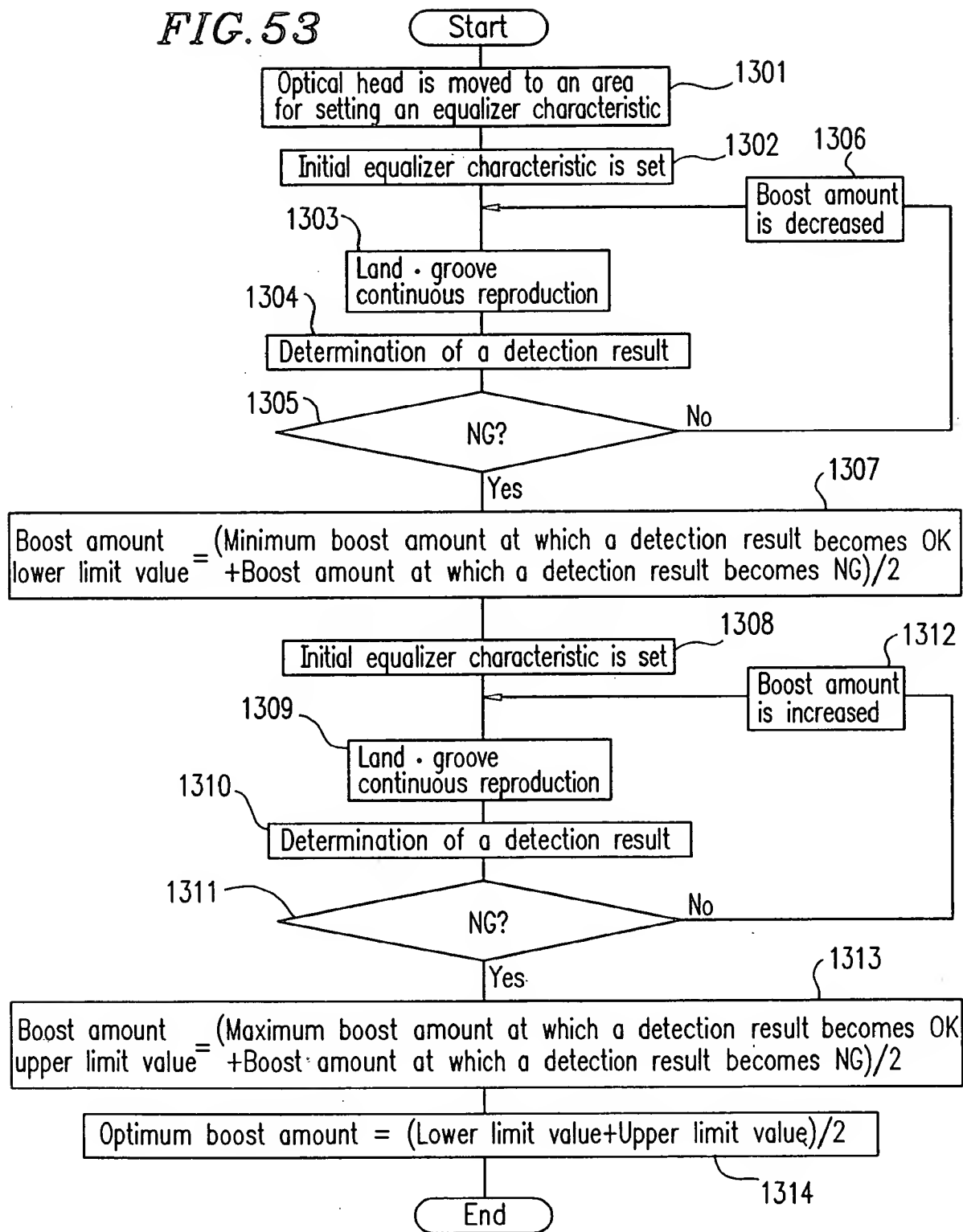


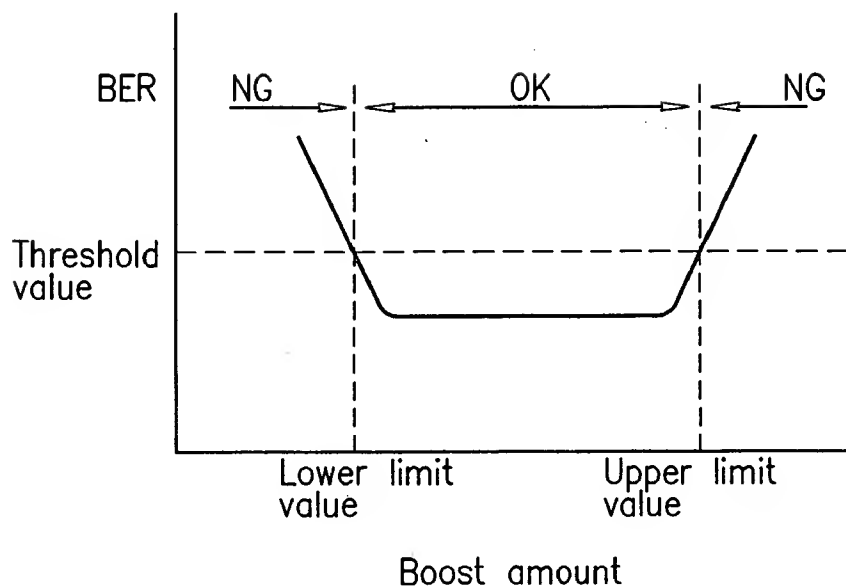
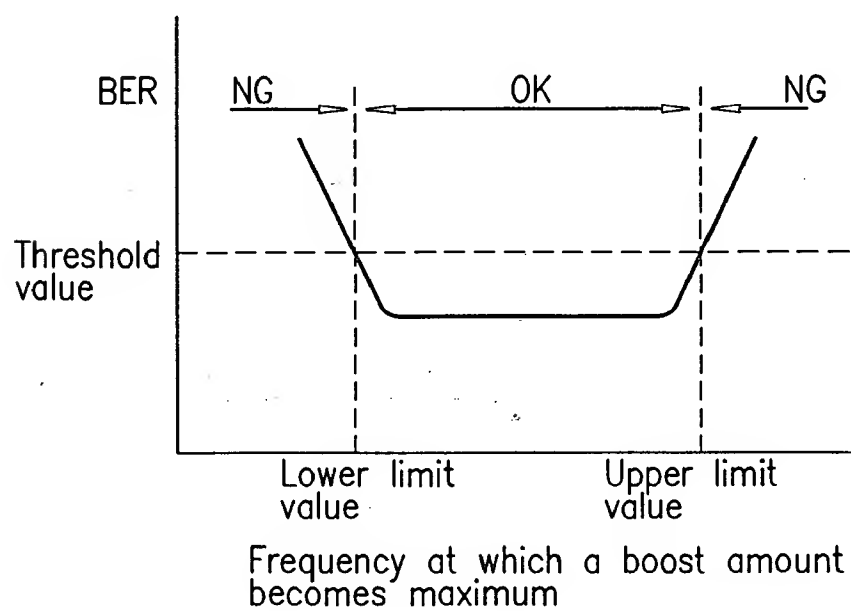
FIG. 54A*FIG. 54B*

FIG. 55A

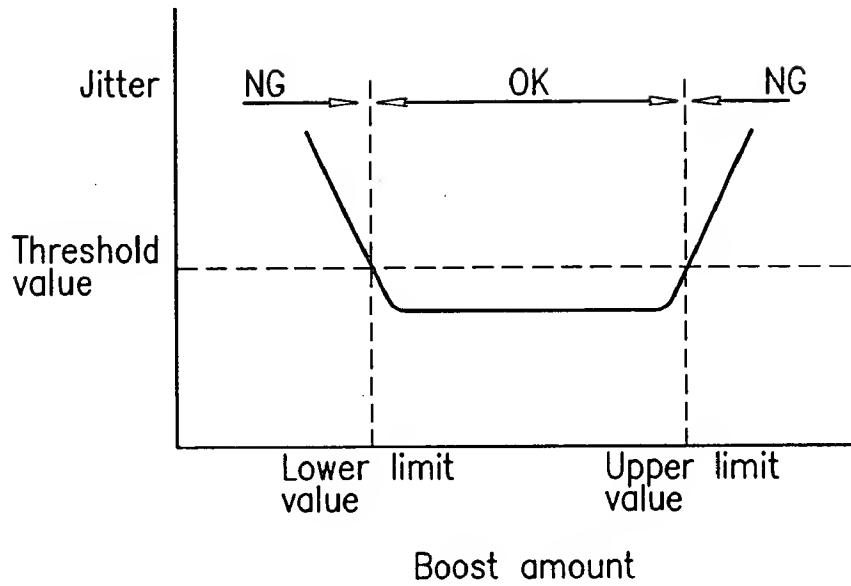


FIG. 55B

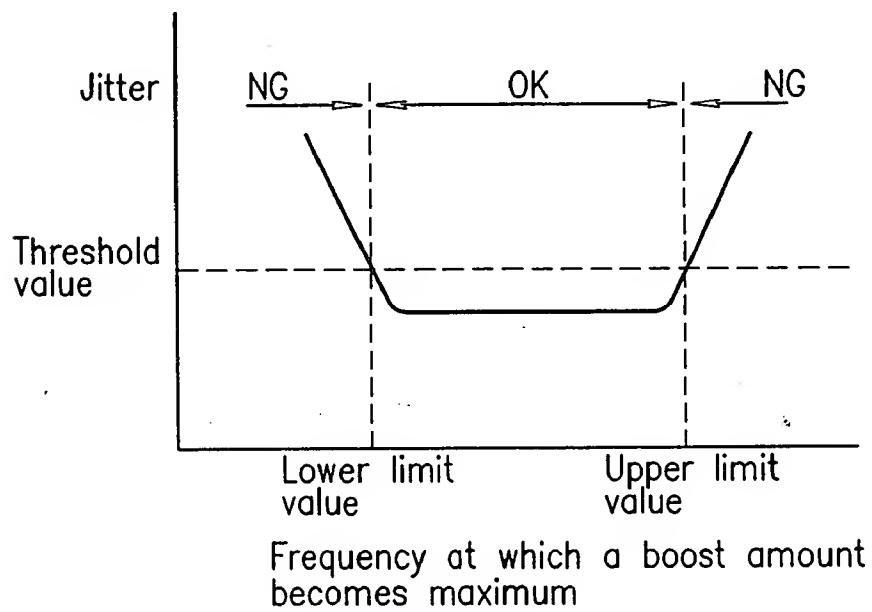


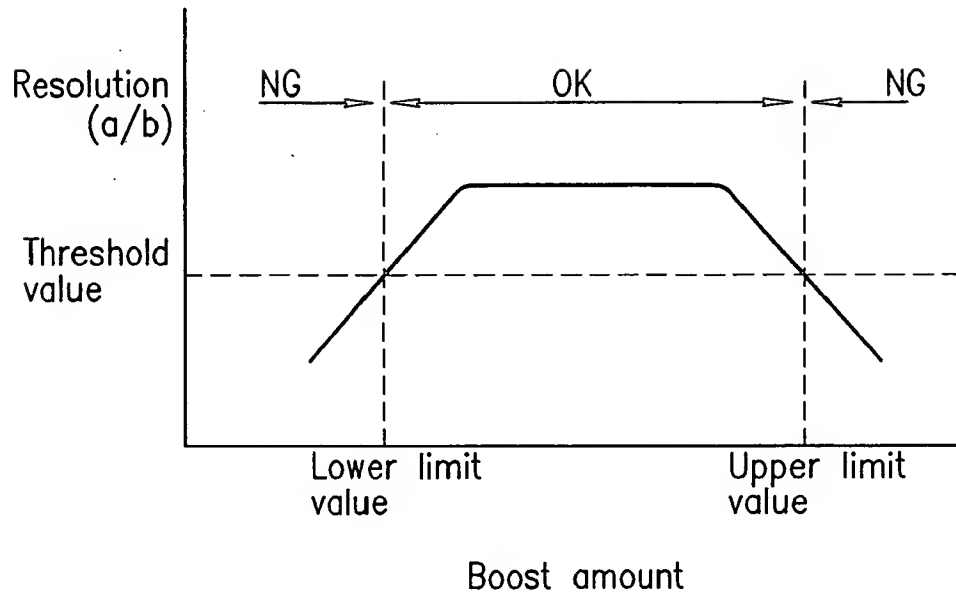
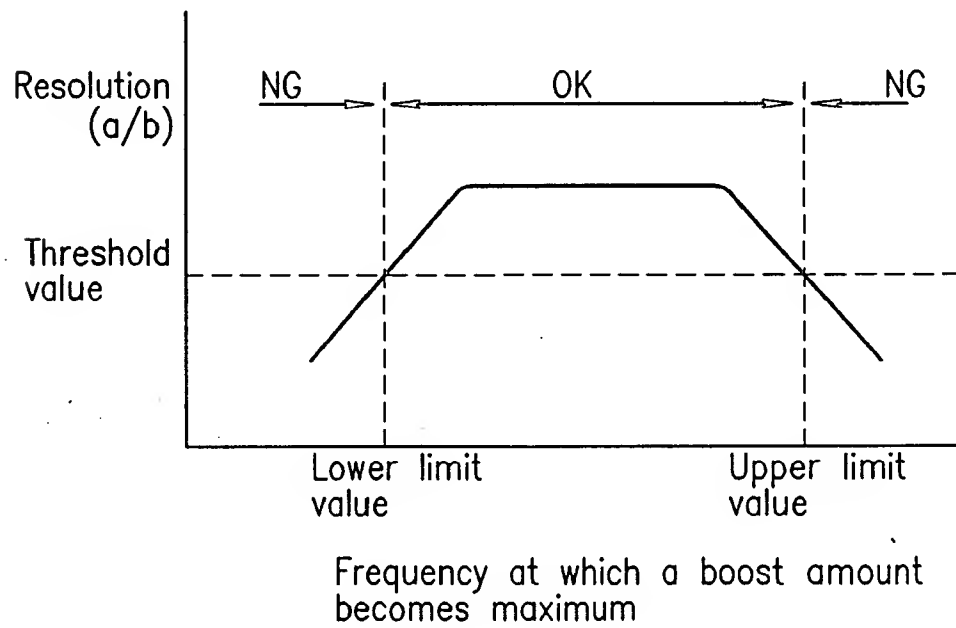
FIG. 56A*FIG. 56B*

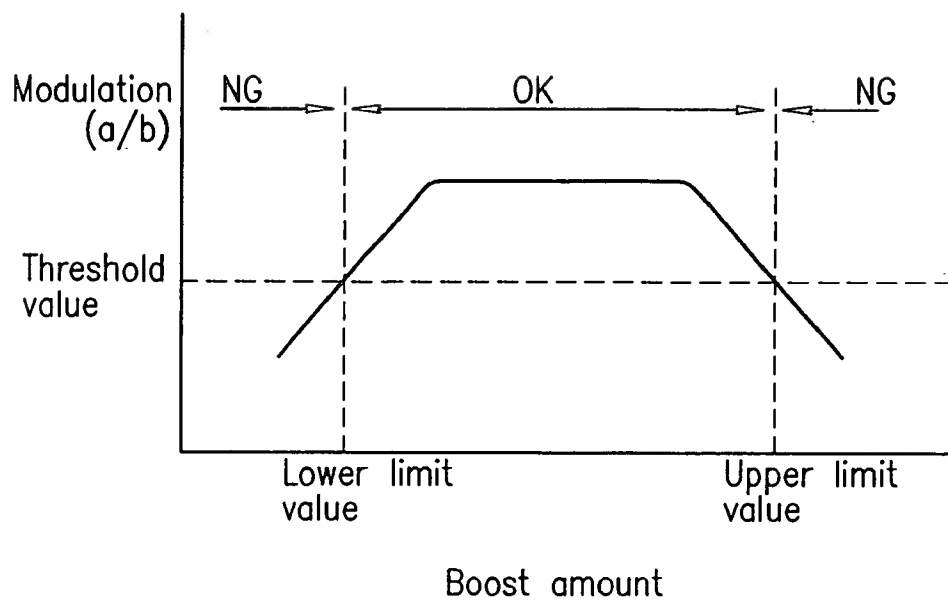
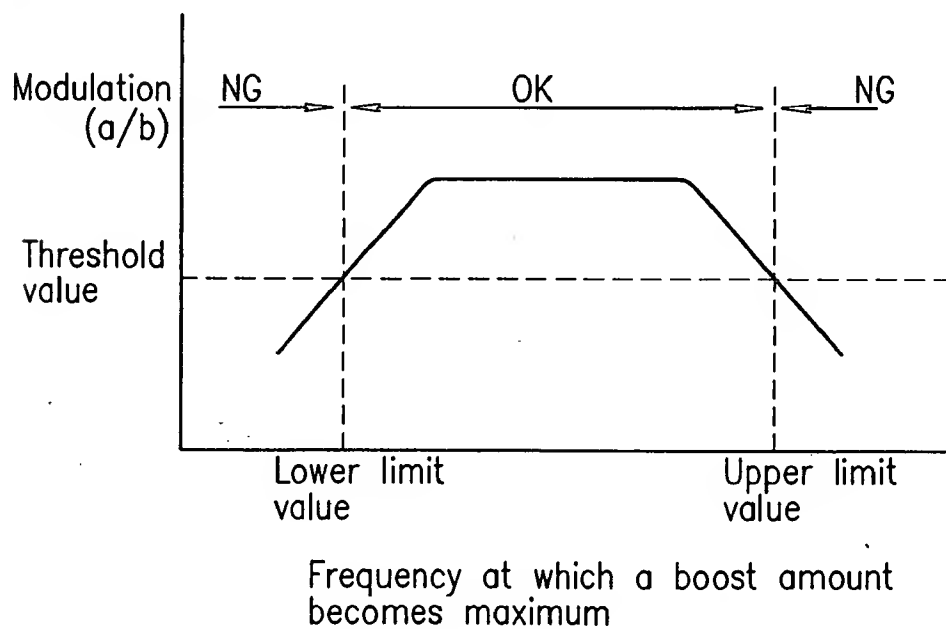
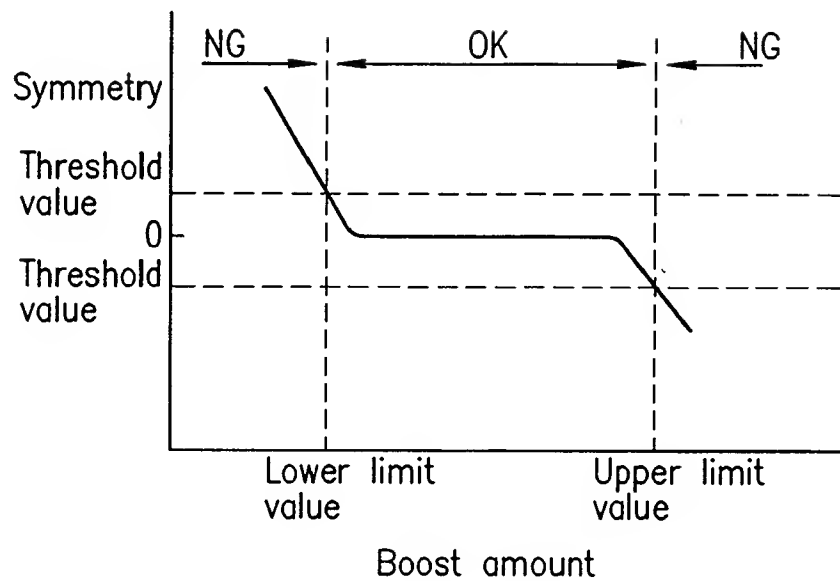
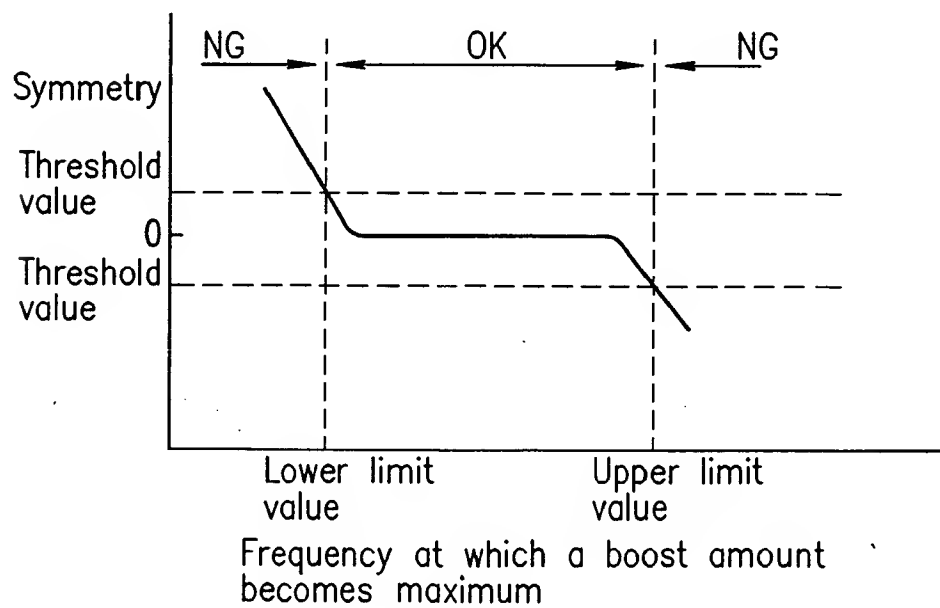
FIG. 57A*FIG. 57B*

FIG. 58A**FIG. 58B**

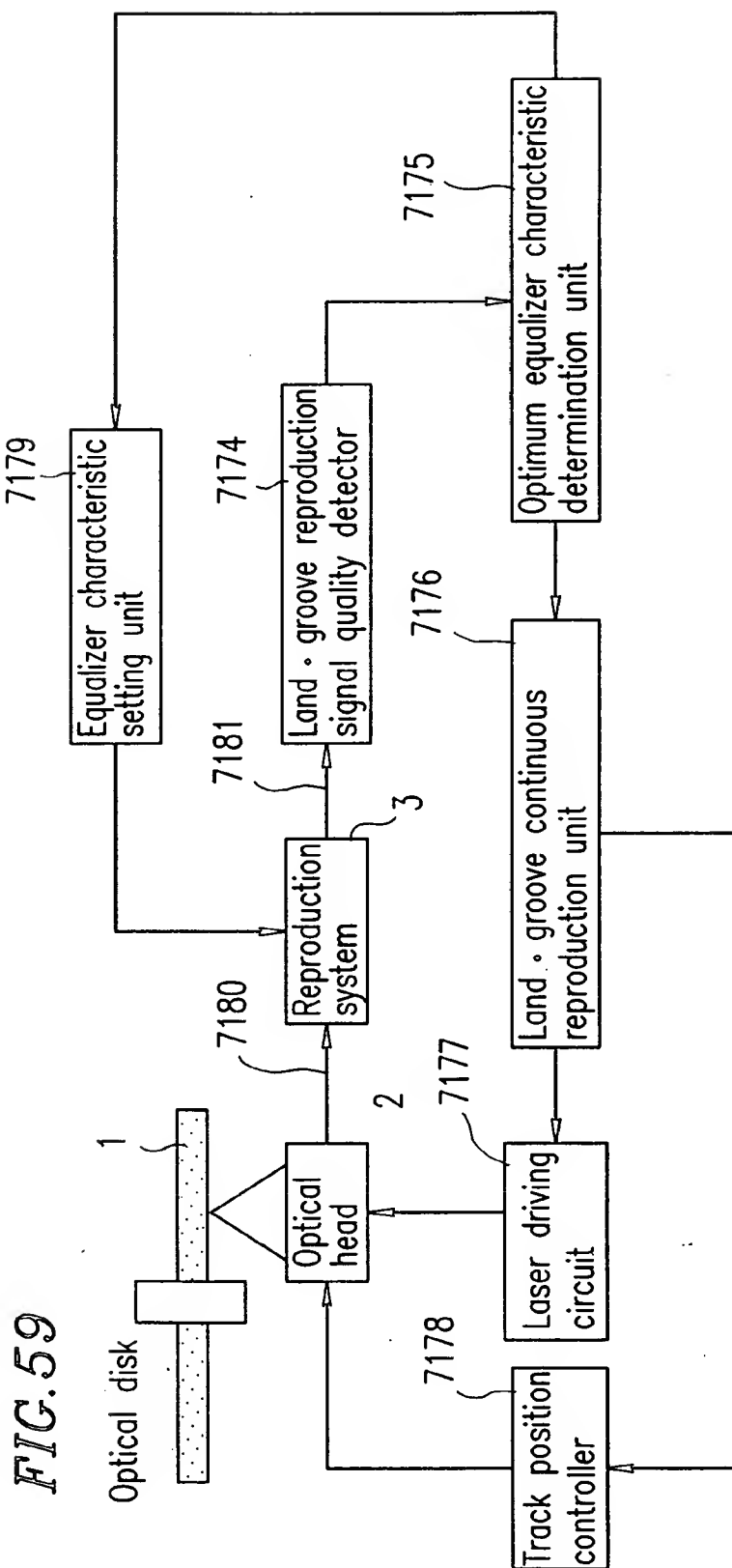
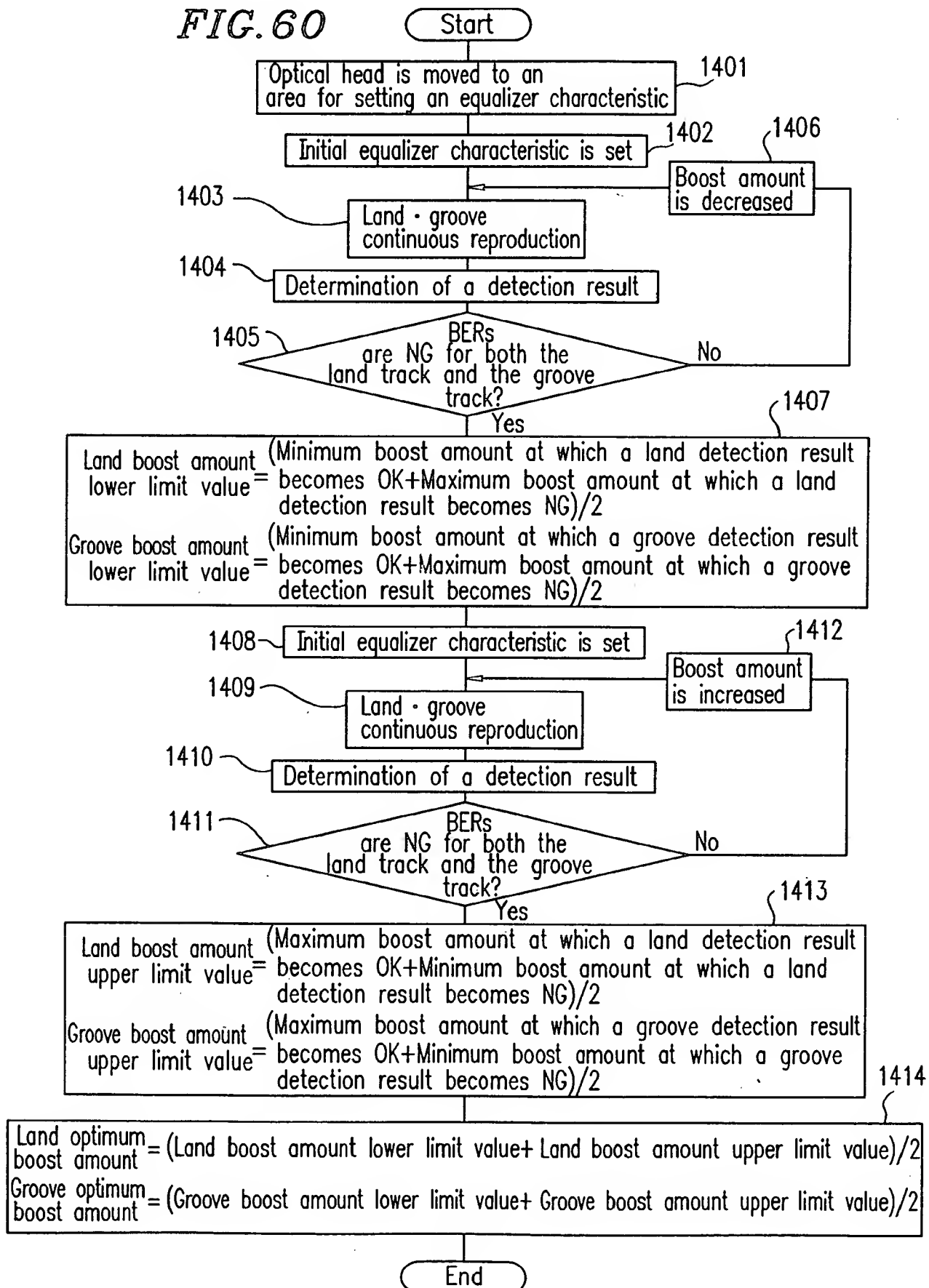


FIG. 60



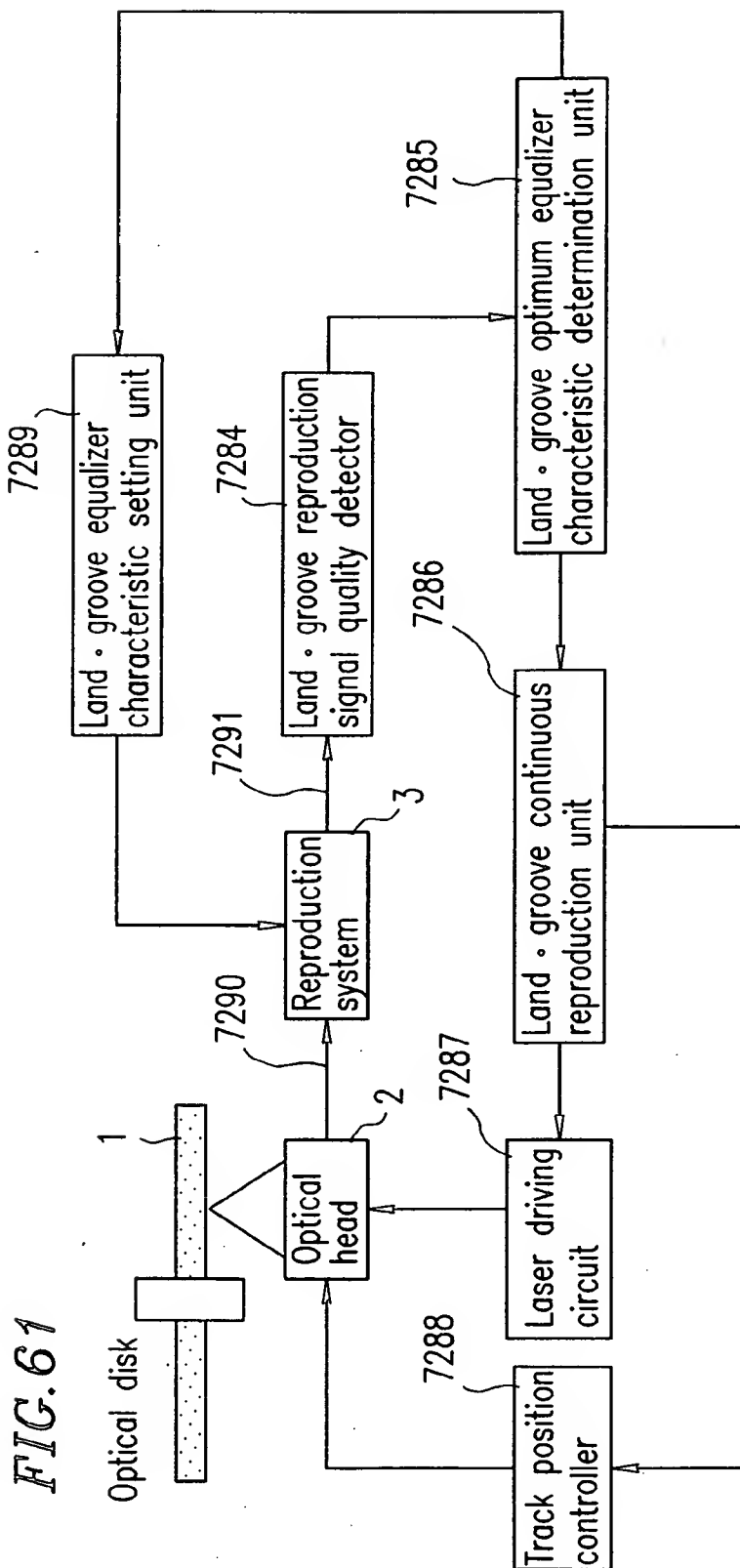


FIG. 62

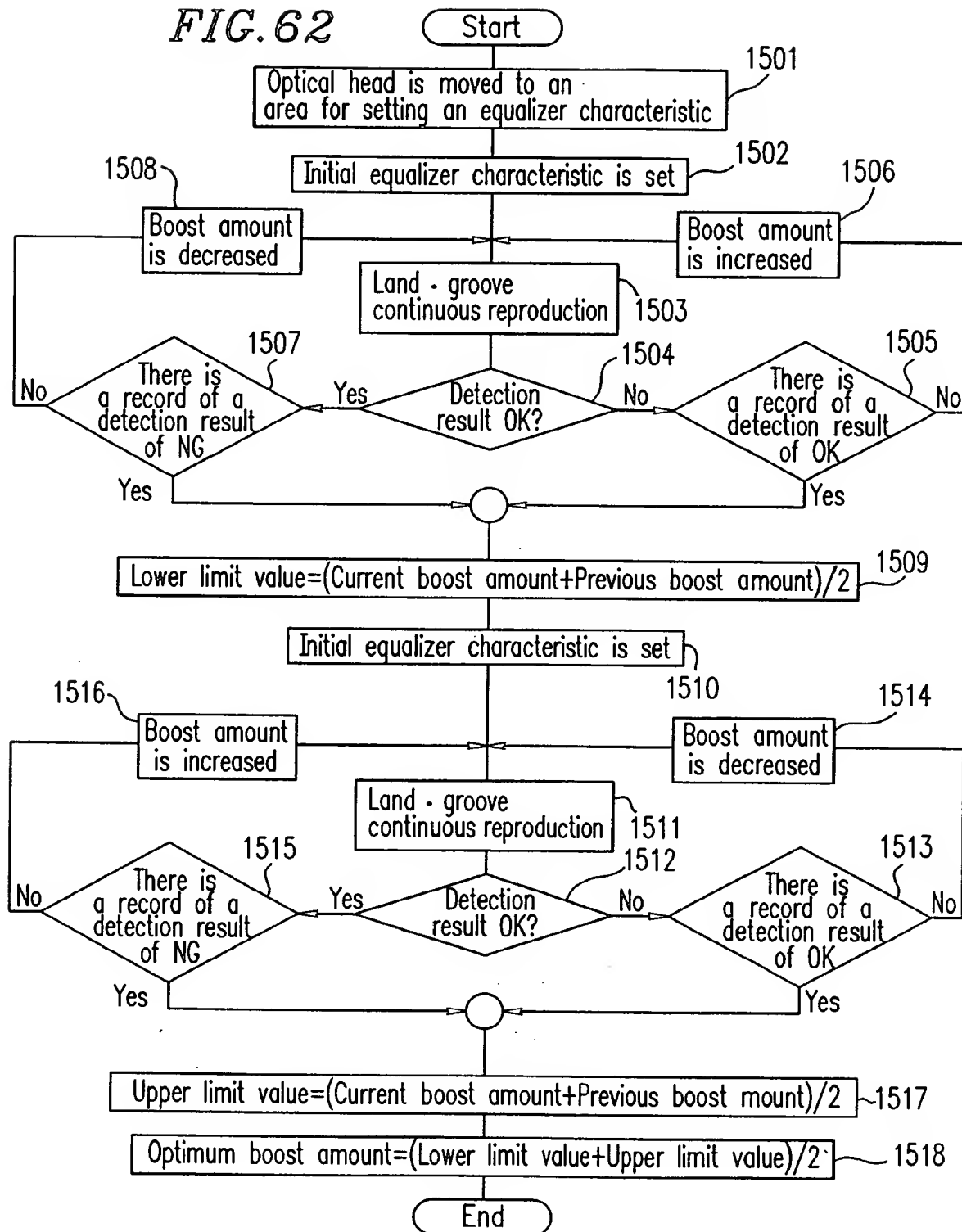
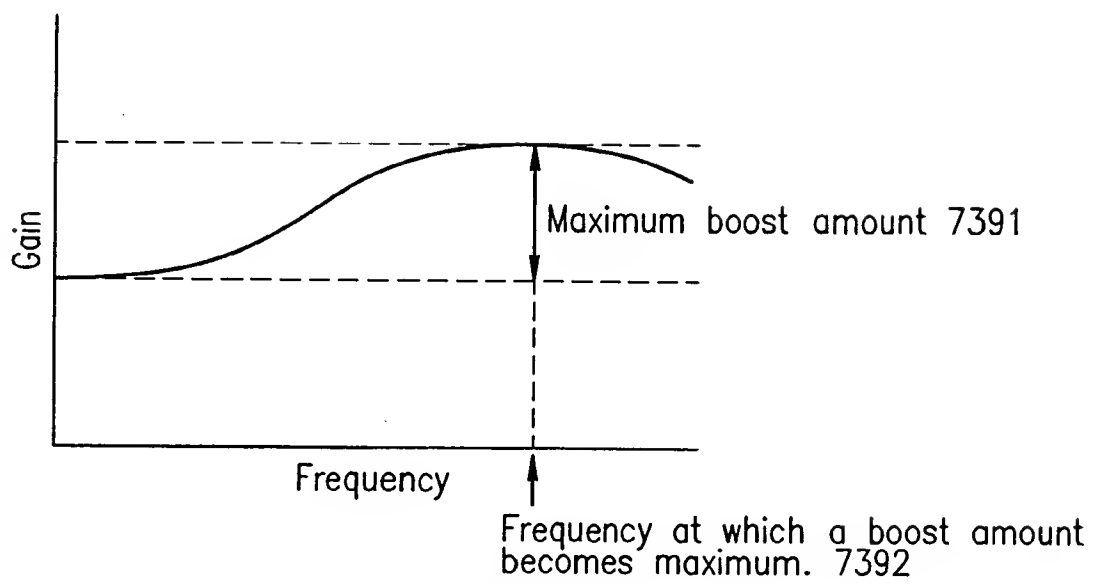


FIG. 63

Equalizer characteristic

FIG. 64

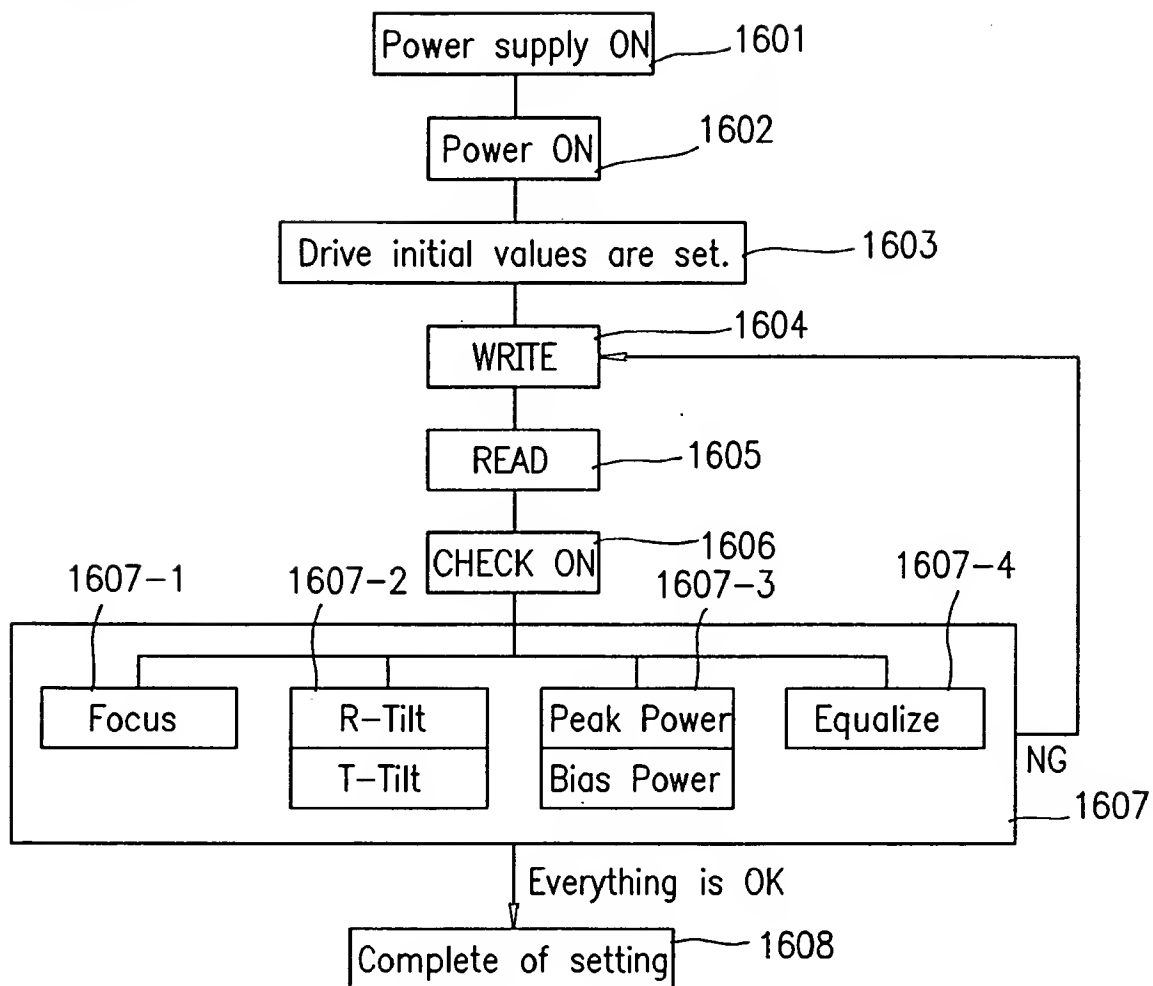
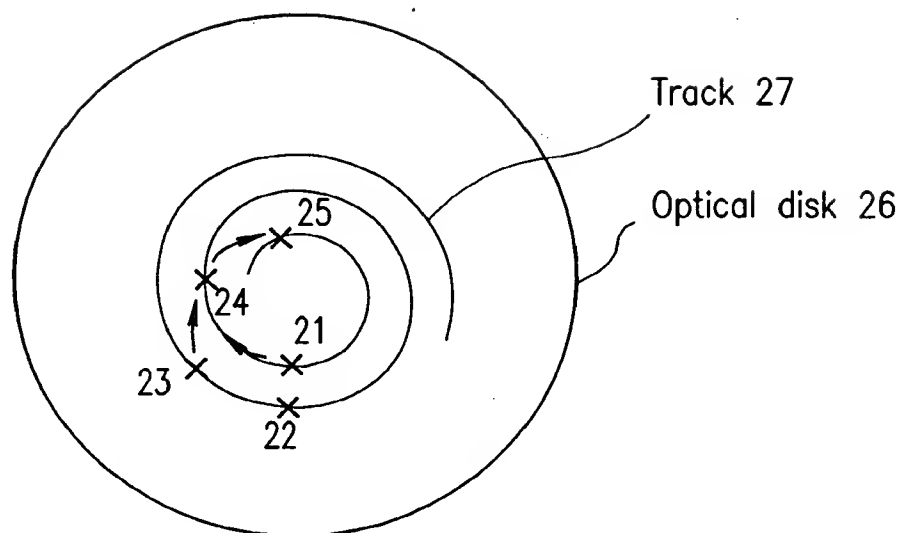


FIG. 65*PRIOR ART*